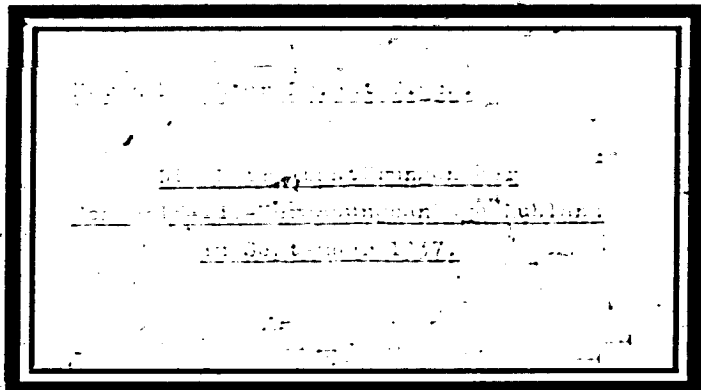


Dear Dr. S. V. Ramanujan
Mys.

J.



197

20862

Herrn Direktor Dr. Bütfisch.

Die Betriebsstörungen der Schmalfeldt-Vergasungsanlage Ruhland

im September 1937.

Seite

| | |
|-----------------------------------------------------------------------------------------|---------|
| Zusammenfassung : | 1 - 5 |
| Berechnungen der Cowper für verschiedene Betriebsfälle | 6 - 11 |
| Vorschlag für neuen Besatz und Besatzkosten | 12 |
| Graphische Aufzeichnung der Temperaturkurven | 12 / 13 |
| Vergleich unserer Rechnungen mit der Rechnung von Dr. Schefels, Düsseldorf | 13 - 14 |
| Materialuntersuchungen des Cowper-Steinbesatzes | 15 - 21 |
| Untersuchungen der Vergasersteine und der Schlacke | 22 - 24 |
| Untersuchungen der Kohle der Gruben Marga und Clara | 24 |
| <u>Anlagen</u> | |
| Photos der Steine und Schlacken | 1 - 12 |
| Schlacken-Analysen | 13 |
| Schmelzkurven der Schlacken | 14 - 19 |
| Brennstoff-Untersuchung Marga / Clara | 20 - 21 |
| Ascheschmelzkurven | 22 |

Die Berechnungen und Untersuchungen wurden ausgeführt durch die Herren:

Dipl.-Ing. Hemmann, Leuna

Ingenieur Hofmann, "

Dipl.-Ing. v.Thiel, "

Dipl.-Ing. Koch, "

beratend: Dipl.-Ing. Terbeck, Brabag Ruhland

Dr. Schefels, Rekurator-Gesellschaft, Düsseldorf.

gez. Sabel

197

Louisa Werke, den 10. Dezember 1937/Sab/r.

20863

Gründe für die Betriebsstörung und Vorschläge für Aithilfe.

Zur Beurteilung der Gründe für den Zusammenbruch des Cowperbesatzes und der Verschlackung des Vergasers 1 war es notwendig, eine genaue Untersuchung der Steine des Cowperbesatzes und der im Vergaser 1 vorgefundenen Schläuchen durchzuführen.

Ferner wurde auf Grund der uns von Ruhland mitgeteilten Betriebsverhältnisse und der Art des Steinbesatzes durch das feuerungstechnische Büro eine Reihe von Rechnungen durchgeführt, die die Temperaturen des Cowpers in den einzelnen Schichten für die normalen und für außergewöhnliche Betriebsverhältnisse bei 13 Minuten Periodenwechsel prüften. Über beide Untersuchungen liegen Sonderberichte bei.

Sab 2

Sab 7

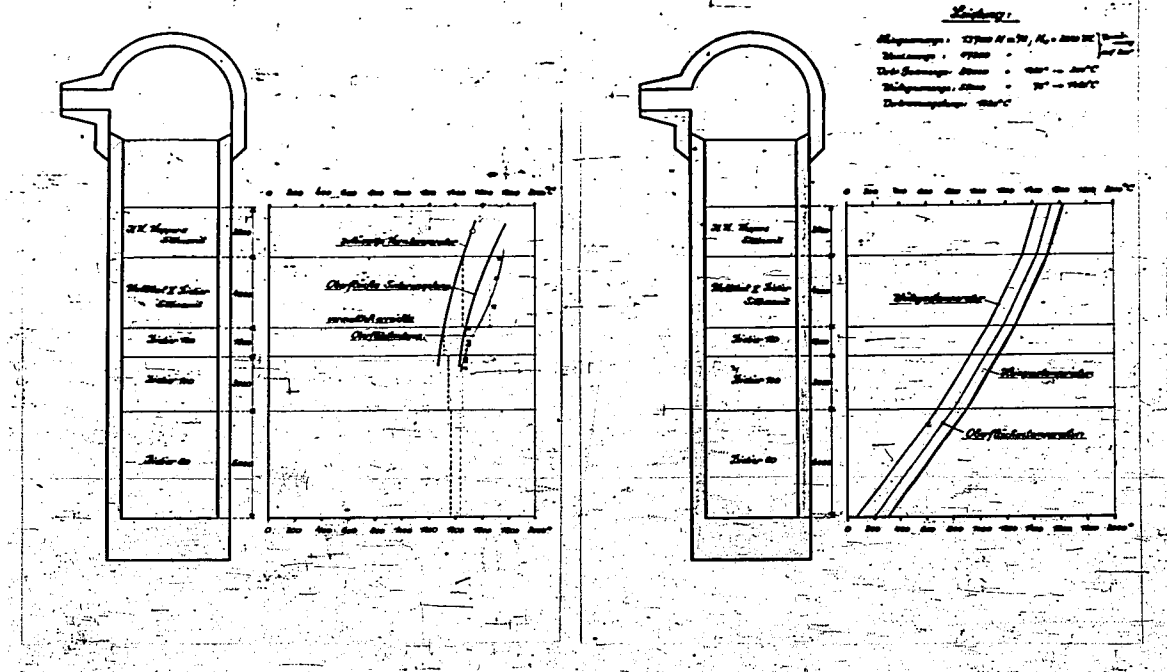


Bild 1 gibt etwa die Temperaturverhältnisse im Cowperbetrieb bei der von Herrn Schmahlfeldt gewünschten Walzgasttemperatur von 1450° .

Bild 2 zeigt die auf Grund unserer Untersuchungen der Steine anzunehmende tatsächlich erreichte Oberflächentemperatur der zusammengebrochenen Cowperschichten.

Vergleicht man Bild 1 mit Bild 2, so ergibt der Vergleich von Rechnungs- und Steinuntersuchungs-Temperaturen, daß der Cowper in den oberen Schichten über das errechnete und über das noch zulässige Temperaturniveau beansprucht worden ist. Die Mullitalschicht, die ja ebenso wie die darunter liegende Didier-120-Schicht zusammengebrochen ist, hat im Kern über 1470° Temperatur gehabt. Die obersten Steine der Didier-120-Schicht haben im Kern mindestens 1510° Temperatur überschritten.

Die Ursachen für diese Tatsache können verschieden sein:

1.) Nachverbrennungen innerhalb des Gitterwerkes:

Durch Versuche oder Nachrechnungen ist hierüber keine Aufklärung möglich. Es scheint, daß Nachverbrennungen stattgefunden haben, die aber auch erst eingetreten sein können, nachdem der Cowper durch den Zusammenbruch kein einheitliches Röhrenwerk mehr vorgestellt hat. Der Verbrennungsraum in der Kuppel ist ausreichend dimensioniert. Bei normalem Betrieb würde unserer Ansicht nach eine Nachverbrennung in dem ersten halben Meter der obersten Sillimanit-Schicht beendet sein müssen, und zwar ohne kurzfristige Beschädigung des Sillimanit-Gitterwerkes.

2.) Änderung der Betriebsweise:

Die Rechnung geht mit den von Ruhland gegebenen Betriebszahlen für Heizgasmengen, Windüberschuß, Wälzgasmengen und Wälzgastemperaturen nicht auf. Der tatsächliche Betrieb muß von diesen Angaben verschieden gewesen sein. Da die Rechnung aufgestellt wird für ein Gleichgewicht zwischen Angebot an Wärme durch Heizgase und Abnahme an Wärme durch Wälzgase bei bestimmten Gitterwerkstemperaturen, tritt sofort eine Verschiebung auf, wenn z.B. die Wälzgasmenge oder der Dampfzusatz zum Wälzgas stärker zurückgenommen wird. In diesem Falle würde die Wärmeabgabe des Cowpers nicht der errechneten Aufladung entsprechen, und nach und nach würde durch Wärmeüberangebot eine Überhitzung des Cowpers entsprechend den Kurven in Bild 2 - eingetreten sein. Verringerung des Luftüberschlusses oder Erhöhung der Heizgasmenge hätte den gleichen Effekt.

Ob eine solche Verschiebung der Wärmegleichgewichtsverhältnisse vorliegen hat, müßte sich durch Überprüfen der Walzgas-Holzgaszusagen über die ganze Betriebszeit noch nachträglich feststellen lassen.

3.) Schwankungen in der Beheizung:

Die Heizgase verbrennen bei dem angewandten Luftüberschluß rechnerisch mit 1620° . Vorübergehende Heizwertschwankungen sind vorgekommen. Eine Nachprüfung ergibt, daß 20 g Butan + 25 g Propan im Heizgas, entsprechend einer Heizwertsteigerung von 500 KW, d.h. über 20 %, die Verbrennungstemperatur auf ungefähr 1800° gehoben hätten. Da die Heizwertschwankungen, wie aus den Diagrammen zu erssehen ist, vorübergehend waren, und die oberste Sillimanitsschicht des Cowpern durchaus in der Luge war, diese Temperaturen aufzuzeigen, dürfte unserer Ansicht nach hierin nicht die Ursache für den Zusammenbruch des Cowpers zu suchen sein.

Da der Steinbesatz bis tief in das Gitterwerk starke Eisenaufnahme zeigt (herrührend aus Braunkohlenasche) und da auch im Betrieb beobachtet worden ist, daß Kohle und damit selbstverständlich auch Wassergas aus dem Vergaser in den Cowper zurückgetreten ist, liegt die Vermutung nahe, daß eine zusätzliche Beheizung mit sehr heißem Wassergas aus dem Vergaser erfolgte. Diese unkontrollierbare Zusatzbeheizung kann durchaus die Ursache für den Zusammenbruch gewesen sein. Der Übertritt von heißem Wassergas muß nicht notwendig mit Übertritt von Kohle verbunden sein. Es besteht auch die Möglichkeit, daß praktisch kohlefreies, hochüberhitztes Walzgas aus einem Cowper durch die Vergaserkuppel in den zweiten Cowper übertritt.

Das Verbrennen von hochüberhitztem Wassergas der Heißperiode erklärt auch zwangslässig die überraschende Drehbewegung, die der Cowperbesatz beim Zusammenbruch ausgeführt hat. Der Cowper ist ganz einseitig dort auf unzulässige hohe Temperaturen gekommen, wo das heiße Wassergas aus der Vergaserkuppel zugeströmt ist.

In diesem Zusammenhang befindet sich das Schmahlfeldt-Verfahren um so näher an der Gefahrenzone, als wir der Ansicht sind, daß dieses Verfahren darauf angewiesen ist, mit möglichst hohen Cowpertemperaturen zu fahren.

Die beste Abhilfe gegen zukünftige Schädigungen bleibt eine Temperaturüberwachung durch schreibende Meßinstrumente für die Walzgastemperaturen und besonders auch für die oberen Gitterwerkslagen des Cowpers. Das Fehlen einer sicherer Temperaturmessung ist unserer Ansicht nach in erster Linie für den Zusammenbruch des Cowpers verantwortlich zu machen.

Weiter ist eine saubere Verteilung von Brenngas und Wind durch Mengensteiger für jeden der sechs Brenner der Kuppel unserer Ansicht nach unerlässlich.

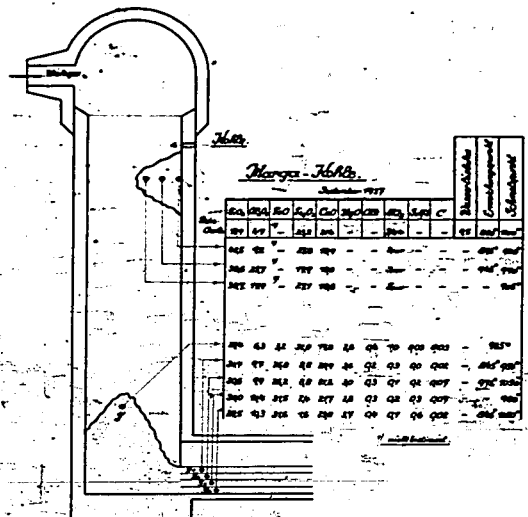
Empfehlenswert wäre weiter, den Steinlochsaat der Cowper für den in einzelnen Vorschläge weiter unten gemacht werden, aus möglichst hochwertigen Material vorzusehen. Bei Sillimanit in der unteren Hälfte des Cowpers wird man am wenigsten Überraschungen zu befürchten haben.

Ferner sind Schieber zwischen Cowper und Vergaser sehr empfehlenswert.

Die Verschlackung des Vergasers ist ein Zeichen dafür, daß mit dem Walzgas mit sehr hohen Temperaturen gefahren worden ist. Die Analysen und Schmelzpunktbestimmungen der einzelnen Schlackenproben an den verschiedenen Stellen des Vergasers zeigt Bild 3.

Der ganze Verschlackungsvorgang ist vermutlich so gewesen, daß weich gewordene Schlackenkörnchen, vielleicht die Kleinsten oder die am stärksten sandigartigen, an der Wand oder an dem Boden lieben blieben, sich anhäuften, und daß nun unter Einfluß der dauernd hohen Temperaturen Änderungen in den Eisenverbindungen eintraten. Die vollständige Reduktion des ursprünglich vorhandenen Gipsses deutet auf sehr hohe Temperaturen. Ob der Verschlackungsvorgang dauernd bei jeder Periode in geringem Maße eintritt, oder ob er mal stärker oder mal schwächer gewesen ist, z.B. durch Ausbleiben von Kohlenzufuhr oder durch Überangebot von heißen Walzgasen, ist nachträglich nicht mehr festzustellen. Von der Kuppel des Vergasers sind rund 7 - 10 cm unter dem Einfluß der hohen Temperaturen unter Schlackenangriff weggeschmolzen.

Vergaser I.



Konstruktiv liegt von der Firma Koppers ein guter Vorschlag vor, um die Einführung der Kohle in den heißen Wälzgassstrom durchzuführen. Für den Betrieb bleibt nichts weiter übrig, als durch Beobachtung und Probieren die noch zulässige Grenze für die Wälzgasttemperatur für eine bestimmte Kohlensorte unter Ausnutzung einer möglichst ausgiebigen Besetzung des Vergasers und des Verbindungsstückes zwischen Vergaser 1 und 2 mit Thermoelementen festzustellen.

Ruhland beabsichtigt, gegebenenfalls für das Schmehlfeldt-Verfahren von der Marga-Kohle auf Klara-Kohle überzugehen. Die Ancheschmelzpunktcurven sowie die im folgenden beschriebenen Versuche über Angriff auf feuerfeste Steine zeigen, daß Klara-Kohle noch eher zum Verschlacken und zum Angriff neigt als die bisher benutzte Marga-Kohle.

gez. Sabel

Feuerungsbetrieb.

20868

Cowper-Untersuchung der Schmehlfeldt-Vergasung in Ruhland.

Zusammenfassung.

- A) Die Nachprüfung der Cowper der Vergasungsanlage System Schmehlfeldt in Ruhland ergab, daß
1. die Cowper einschl. der Brennkammern ausreichend dimensioniert und
 2. die verwendeten Besatzmaterialien für die in der Bestellung geforderte Cowperleistung richtig waren,
 3. der Cowper nach den Angaben des Betriebes für eine höhere Leistung beansprucht wurde als der Bestellung entsprach.
{Soll: Erhitzung von 55 000 m³ Walzgas auf 1450°,
Lt. Bestellg.: " " 45 000 " " 1350°.),
 4. zur Erzielung der erhöhten Leistung eine zusätzliche Beheizung erfolgen mußte,
 5. die Brennkammertemperatur höher gewesen sein muß, als sich aus den Betriebsangaben errechnet (evtl. durch Heizwertschwankungen, evtl. Zusatzbeheizung aus Vergaser),
 6. das feuerfeste Material des Besatzes in der oberen Hälfte über die zulässige Temperaturgrenze beansprucht war.
- B) Zur Sicherung des Cowperbetriebes wird für erforderlich gehalten:
1. richtige Gas-/Luftverteilung für alle Cowperbrenner,
 2. einwandfreier Abschluß zwischen Vergaser und Cowper (Schieber),
 3. die oberen ca 10 m des Besatzes in Sillimanit der Firma Europ. Koppers auszuführen,
 4. Temperaturkontrolle in der Cowperkuppel (maximale Temperatur: 1600°) und in verschiedenen Höhen des Cowperbesatzes.
- C) Die angestrebte Leistung, 55 000 m³/h Walzgas + Dampf mit den 2 Cowpern auf 1450° zu erhitzen, ohne den Cowperbesatz mit zu hohen Temperaturen zu beanspruchen, ist zu erzielen (siehe Fall 8 nachstehender Ausführungen)
- D) Aus dem im Beiblatt unter Fall 1 - 9 dargestellten errechneten Temperaturverlaufskurven kann die Betriebsführung die Auswirkungen jeder Änderung der Fahrweise des Cowpers auf den Temperaturverlauf im Besatz erkennen.

Lohnwerke, den 6. Dezember 1937. Fl.

20869

Stellungnahme zum Cowper der Braunkohlen-Versorgungsanlage.
System Schmalzfeldt, des Brabagwerkes Ruhland.

Der Cowper wurde auf Grund der uns von der Betriebsleitung Ruhland gehaltenen nachstehenden Betriebsangaben unter Anlehnung an den von Scheick/Kunze bekann-ten Rechnungsgang berechnet:

I. Betriebsangaben:

- a) Walzgas-Dampf-Erhitzung (2 Cowper) pro Stunde (zur Heizung ausgenutzte Zeit: 2 1/2 Stunde).

$$\begin{array}{r} 29\ 000 \text{ m}^3/\text{h} \text{ Walzgasmenge trocken,} \\ 26\ 000 \quad " \text{ Dampf,} \\ \hline 55\ 000 \text{ m}^3/\text{h}. \end{array}$$

Eintrittstemperatur unter dem Cowpergitter für Walzgas und Dampf im Mittel: 76°.

Walzgas-Analyse unter dem Gitter:

| | |
|---------------|---------|
| CO_2 | ca 13 % |
| CO | " 26 % |
| H_2 | " 52 % |
| CH_4 | " 6 % |
| N_2 | " 3 % |

$$\begin{array}{l} c_{pm}: \text{ bei } 0^\circ = 0,317 \\ \quad \quad \quad 1400^\circ = 0,387 \end{array}$$

- b) Cowperheizung: 10 000 Nm^3/h Heizgas (2 Cowper).

Zusammensetzung:

| | |
|-------------------------|--------|
| CO_2 | 33,- % |
| C_{nHm} | 0,2 % |
| O_2 | 0,1 % |
| CO | 15,2 % |
| H_2 | 29,1 % |
| CH_4 | 12,2 % |
| N_2 | 10,2 % |

$$H_u = 2320 \text{ kcal/Nm}^3.$$

(Verbrennungsluft theoretisch: $2,25 \text{ m}^3/\text{m}^3$.)

Verbrauchte Verbrennungsluft pro Stunde: 34 500 Nm^3 (max. Ventilatorlastg.)

Heizgastemperatur vor dem Brenner: 200°

Lufttemperatur " " " : 200°

c) Betriebsweise:

Der Schaubifeldt-Generator wurde mit 2 Cowpern wechselweise mit einer Umstellzeit von 13 Minuten jeweils für Be- bzw. Entfeuern der Cowper gefahren.

d) Gitterheizfläche:

| | | | | | | | |
|-------------|---------|--------|---|--------------------|------------|---------|----------|
| Sillimanit: | 1. Zone | 2,80 m | = | 914 m ² | Heizfläche | 50,- t | Gewicht, |
| | 2. " | 4,00 " | = | 2134 " | " | 88,4 t | " , |
| Schamotte: | 3. " | 4,60 " | = | 2645 " | " | 93,1 t | " , |
| | 4. " | 6,00 " | = | 3777 " | " | 129,7 t | " , |

Als Besatz sind Röhrensteine nach Brassort mit Vordrängungsrohnsatz verwandet.

e) Die der Bestellung zu Grunde gelegten Leistungsanforderungen sind folgende:

Wulzgas + Dampf: 45 000 Nm³/h von 75° auf 1350° erwärmen.

Heizgasmenge: 16 000 - 18 000 Nm³/h

Hu: 1 100 kcal/Nm³

Windmenge: 30 000 - 35 000 Nm³/h

Windtemperatur: 460°

Heizgastemperatur: 400°

Oberste Besatztemperatur: 1 450°

2. Rechnungsgang:

a) Verbrennungstemperatur:

Unter Berücksichtigung von Vorwärmung von Heizgas und Luft auf 200° errechnet sich bei den vorgenannten Betriebsdaten und dem sich ergebenen Luftüberschuß von 50 % eine Verbrennungstemperatur von 1620°. Bei Auskleidung der Brennkammer mit Sillimanit ist diese Temperatur als Höchstgrenze zulässig.

b) Brennkammerbelastung:

Cowperkuppelinhalt: 210 m³.

Gesamte zugeführte Wärmemenge (Heizzeit: 1/2 Stde je Cowper)

25 590 000 kcal/h, für 2 Cowper je 1/2 Stde.

Brennraumbelastung: $\frac{25 590 000}{210} = 121 500 \text{ kcal/m}^3/\text{h}$

(maximal - Fall 9: $\frac{41 600 000}{210} = \sim 200 000 \text{ kcal/m}^3/\text{h}$)

Die Belastung ist normal, so daß angenommen werden kann, daß die Heizgase bereits vor Eintritt in den Cowperbesatz vollständig verbrennen, richtige Verteilung von Gas und Wind auf die verschiedenen Brenner vorausgesetzt.

c) Temperaturverlauf im Cowperbesatz:

Es war zu prüfen, wie nach den Betriebsangaben bezüglich der Fahrweise des Cowper der Temperaturverlauf im Cowperbesatz sich einstellen mußte und ob unter diesen Verhältnissen ein Zusammenbrechen des Besatzes erfolgen könnte. Außerdem war festzustellen, wie der Temperaturverlauf im Besatz unter Zugrundelegung der in der Bestellung genannten Leistungszahlen sich ergeben würde.

In anliegender Zusammenstellung der verschiedenen Temperaturkurven sind die Ergebnisse der Berechnungen unter Ergänzung verschiedener Annahmen zum Vergleich gebracht.

1. Fall 1 stellt den Temperaturverlauf unter Zugrundelegung der Bestellwerte dar und zeigt, daß die für die angewendeten feuerfesten Materialien zulässigen Höchsttemperaturen in keinem Fall überschritten werden.
2. Fall 2 zeigt vergleichsweise die gleiche Temperaturkurve unter Zugrundelegung der Betriebsangaben. Auch in diesem Fall tritt eine Gefährdung des Cowperbesatzes nicht ein. Da jedoch nach dem Ausbaubefund und der Nachprüfung der wahrscheinlich eingetretenen Temperaturen an Hand der Sinterungerscheinungen der Steine durch die Materialprüfung Leuna wesentlich höhere Temperaturen im Cowper gewesen sind, wie aus der Kurve 10 ersichtlich ist, müssen Abweichungen von den Betriebsangaben vorgelegen haben. Es ist daher untersucht, welcher Einfluß jeweils die Änderung einer der Betriebszahlen zur Folge hat.
3. Fall 3 zeigt den Temperaturverlauf im Cowperbesatz bei verringertem Luftüberschub. Bei Vergleich dieser Kurve mit dem Kurvenverlauf 10 ist erkennbar, daß diese Annahme nicht zum Ziel führt.
4. Unter Fall 4 ist die aufzuheizende Walzgasmenge verringert. Der Verlauf der Temperatur nähert sich dem Temperaturverlauf nach 10, ohne jedoch die hohen, tatsächlich eingetretenen Temperaturen zu erreichen.

5. Unter Fall 5 ist eine Heizwertänderung durch Verhältnisse von 45 g/a³ Benz in angenommen. Es ergibt sich lediglich eine Erhöhung der Temperatur am oberen Cowperende ohne wesentliche Beeinflussung der Temperaturen im Cowpermitte, wo eine Überheizung des Materials eingetreten war, so daß diese Annahme als Ursache der Zerstörung wahrscheinlich nicht zutrifft.
6. Der Vollständigkeit halber wurde unter Fall 6 geprüft, wie der Temperaturverlauf sich bei höherer Vorrwärmung des Walzgases ergeben würde. Zur Klärung der eingetretenen Verhältnisse führt diese Annahme nicht.
7. Schließlich wurde noch unter Fall 7 der Einfluß auf den Temperaturverlauf bei verkürzter Periode untersucht. Es tritt nur eine verhältnismäßig geringe Veränderung des Temperaturverlaufs im Vergleich zu Fall 2 ein; auch diese Rechnung führt nicht zu dem gesuchten Ergebnis.
8. Da zur Erzielung der angestrebten Leistung, nämlich 55 000 m³ Walzgas auf 1450° zu erhitzten, die vom Betrieb genannte Gasmenge nicht ausreicht, weil einem erforderlichen Wärmebedarf von 30 300 000 kcal/h nur eine zur Aufheizung des Cowpers verfügbare Wärmemenge von 25 590 000 kcal/h gegenübersteht, wird unter Fall 8 untersucht, welche erhöhte Heizgasmenge aufgewendet werden muß, um die gewünschte Leistung zu erzielen. Der Temperaturverlauf im Cowperbesatz, der sich hierbei ergibt, nähert sich erheblich den wahrscheinlich im Cowper aufgetretenen Temperaturen, wie ein Vergleich der Kurven 8 und 10 zeigt. (Ähnliche Verhältnisse ergeben sich, wie bereits unter Fall 7 gezeigt, wenn bei gleicher Heizgasmenge eine entsprechende Verminderung des aufzuheizenden Walzgas-Dampfgemisches angenommen wird.)
9. Wie aus vorstehend untersuchten Fällen ersichtlich, wurden die tatsächlich im Cowper aufgetretenen Temperaturen (s. Kurve 10) nicht erreicht, obgleich ein angenähertes Temperaturverlauf unter Fall 4 bzw. 8 erkannt werden kann. Es müssen mithin offenbar noch andere Betriebeinflüsse vorgelegen haben. Eine Deckung des im Cowper ermittelten, wahrscheinlich aufgetretenen Temperaturverlaufs durch eine errechnete Kurve ergibt sich, wenn wie bei Fall 9 angenommen wird, ein Teil des aufgeheizten Walzgas-Dampf-Gemisches aus dem zweiten Cowper, das infolge seines Anteils an Walzgas einen mittleren Heizwert von ca 1140 kcal/m³ hat, als Zusatzheizung – infolge nicht

20873

- 11 -

ausreichenden Abschlusses zwischen Vergaser und Cowper - in den aufzuheizenden Cowper gelangte und dort mit der vorhandenen Luftüberschussmenge verbrannte.

Die sich ergebenden Verhältnisse gehen aus dem Strömungsbild zu Fall 9 hervor.

Hierbei ist zu beachten, daß die vom Betrieb genannten Heizgas-, Luft- und Wassermengen keine Änderung erfahren haben. Ob die Annahme nach Fall 9 allerdings berechtigt ist bzw. zutrifft, konnte mangels vorliegender, ausreichender Betriebsunterlagen nicht ermittelt werden.

Hermann

Vorschlag und Kosten für einen neuen Besatz.

In den Kurvenbildern 1 - 10 ist die zulässige Kernbeanspruchung der verwendeten Steinmaterialien bei einer Belastung von 2 kg/qcm eingetragen. In Wirklichkeit ist die Belastung in den oberen Besatzsteinschichten geringer, so daß die angegebene Temperaturgrenze eine gewisse Sicherheit enthält. Aus dem Kurvenverlauf 10 ist ersichtlich, daß diese Temperaturgrenze jedoch z.T. wesentlich überschritten wurde, so daß ein teilweises Zusammen sacken der oberen Cowperfüllung eintrat. Da, wie aus vorstehenden Darstellungen hervorgeht, bei Verwendung von Cowpern schon bei geringen Verschiebungen der Betriebsverhältnisse (Heizwert, Gasdruck, undichte Abschlüsse zwischen Vergaser und Cowper, Änderung der Heizgas- bzw. Külgasmengen, Änderung der Periodendauer usw.) damit gerechnet werden muß, daß erhebliche Änderungen des Temperaturverlaufs im Cowperbesatz eintreten können, wird unter "11" vorgeschlagen, die oberen ca 10 m des Besatzes in einer guten Sillimanitqualität der Firma Europ. Koppers, die unteren ca 7 m in einer geeigneten Schamottequalität auszuführen. Die Kosten eines solchen Cowperbesatzes betragen schätzungsweise:

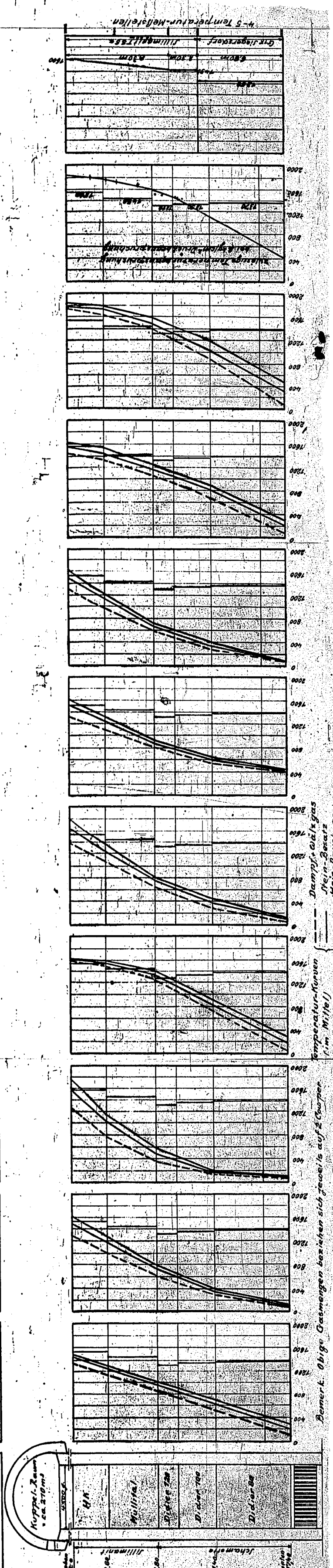
| | für | einen Cowper | zwei Cowper |
|-----------------------|-----|--------------|--------------|
| Material: Sillimanit: | | RM 80 000,- | RM 160 000,- |
| Schamotte: | | " 15 000,- | " 30 000,- |
| Einbau: | | " 27 000,- | " 54 000,- |
| Insgesamt: | | RM 122 000,- | RM 244 000,- |

Bei Wiederverwendung des ca 5 m hohen, wahrscheinlich noch brauchbaren Besatzes der Qualität "Didier 80" vermindert sich der Betrag pro Cowper um ca RM 15 000,- d.h. zusammen um ca RM 30 000,-.

Falls außerdem das Cowpermantelmauerwerk in Höhe des vorgeschlagenen Sillimanitbesatzes ebenfalls mit Sillimanit verkleidet werden soll, was zur Sicherung der Haltbarkeit der Mantelausmauerung zu empfehlen ist, würde dies folgende Kosten verursachen:

| | ein Cowper | zwei Cowper |
|------------|-------------|-------------|
| Material: | RM 22 000,- | RM 44 000,- |
| Einbau: | " 5 000,- | " 10 000,- |
| Insgesamt: | RM 27 000,- | RM 54 000,- |

Außerdem wird wie unter "11" ersichtlich, der Einbau einer Anzahl von Temperaturmeßstellen auf die Höhe des Besatzes vorgeschlagen.

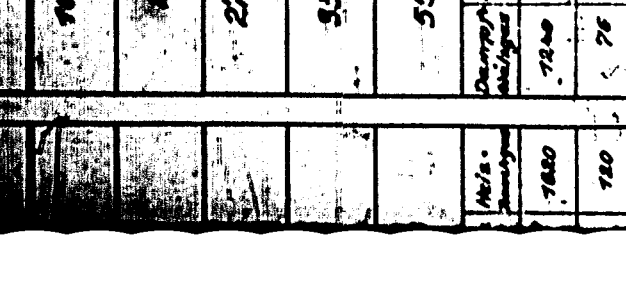
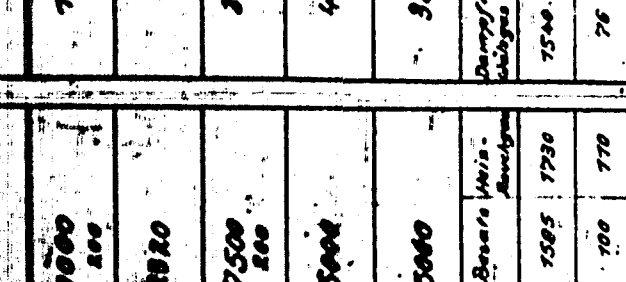
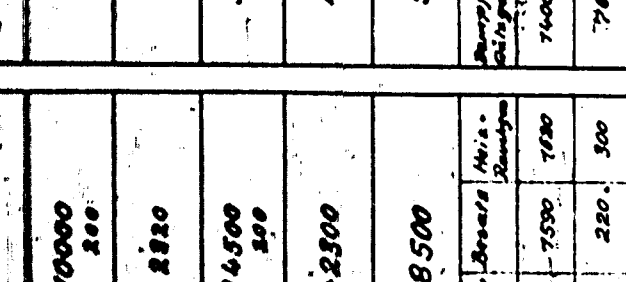
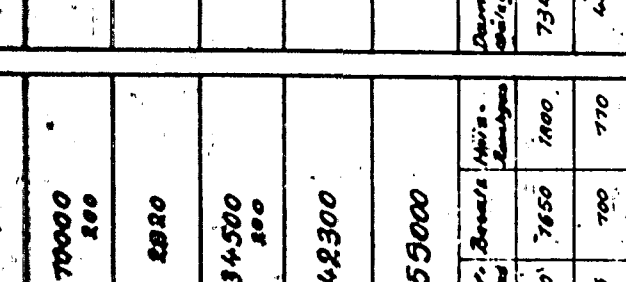
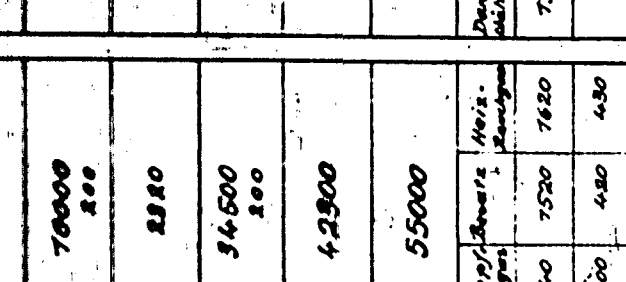
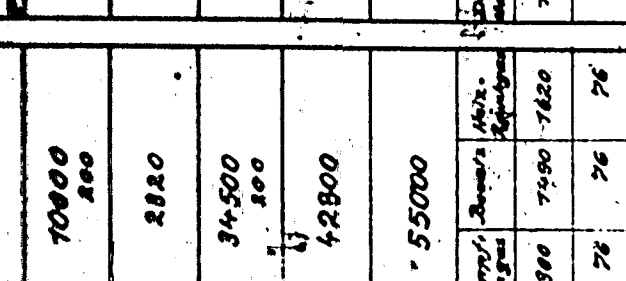
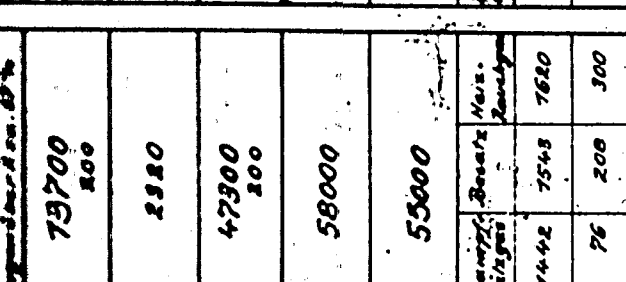
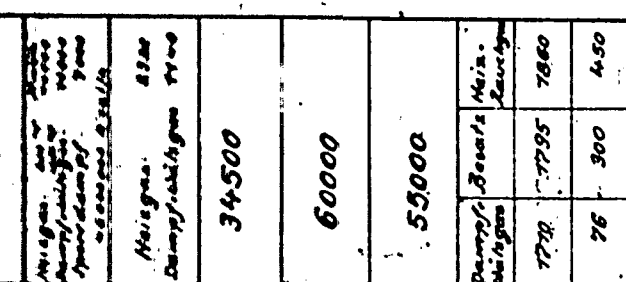
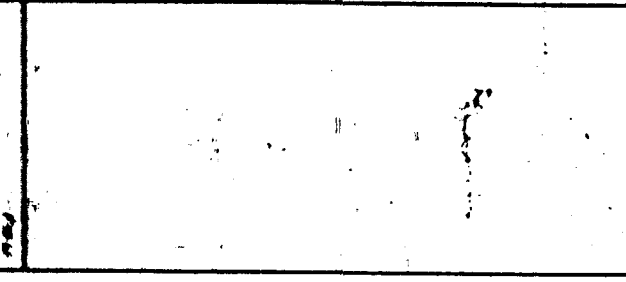
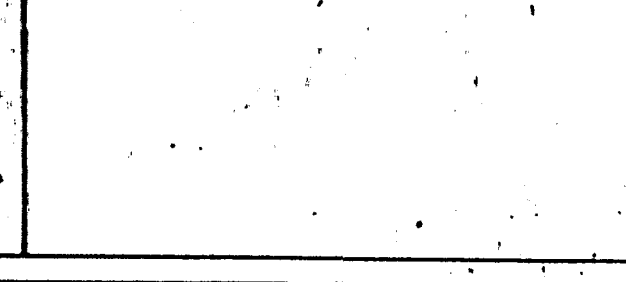


20875

Strömungs-Bild zu Fall 9.

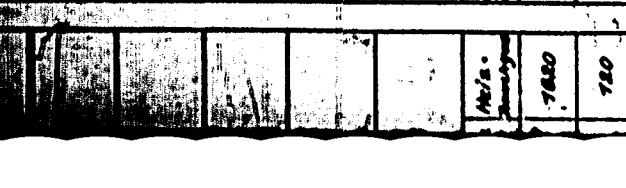
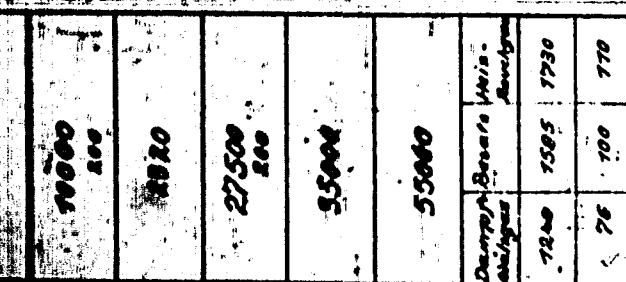
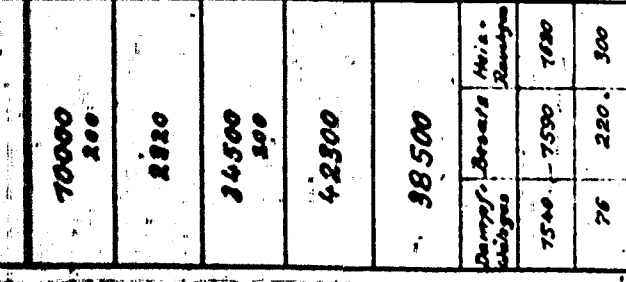
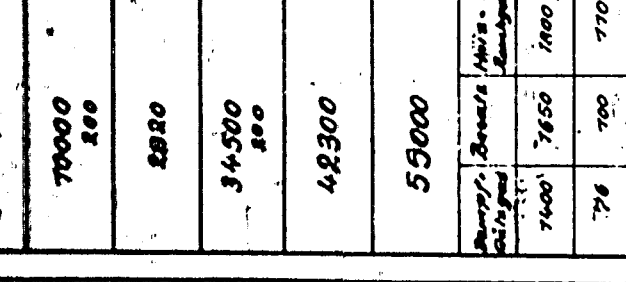
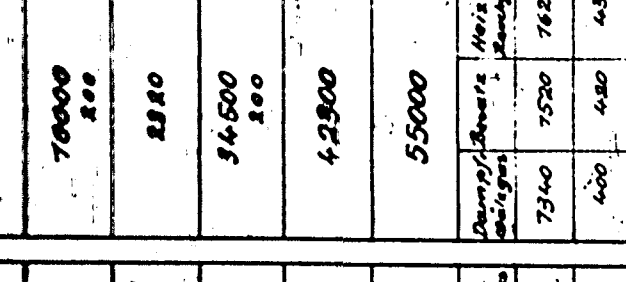
7.1.

Aus der Rohrleitung
fließt ein trockenes
Dampfstrahl aus.
Der Strahl wird durch
eine Wasserschicht aufgefangen.
Die Wasserschicht ist
so tief, dass sie die gesamte
Rohrlänge abdeckt.



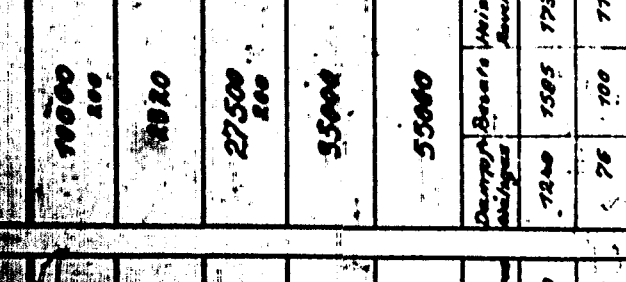
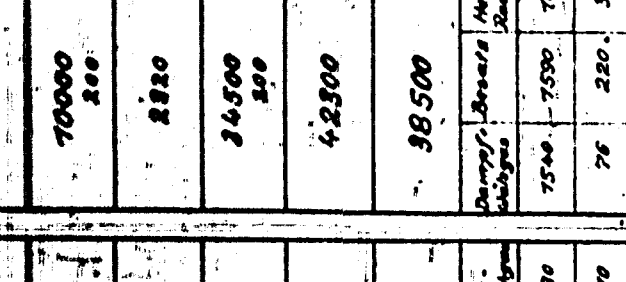
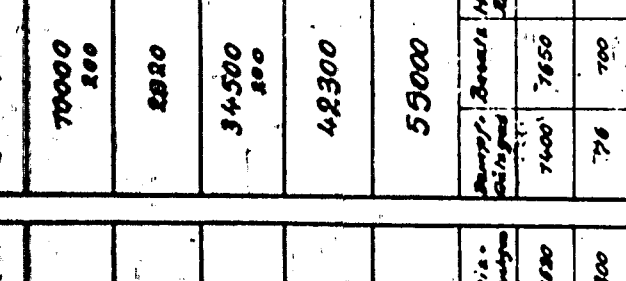
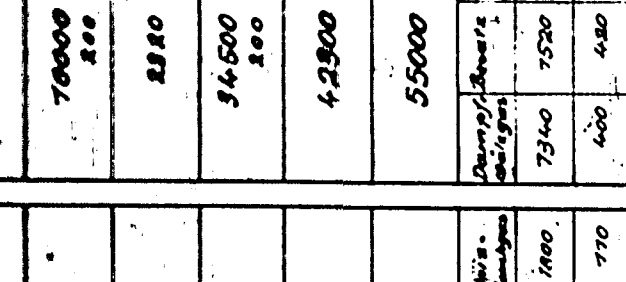
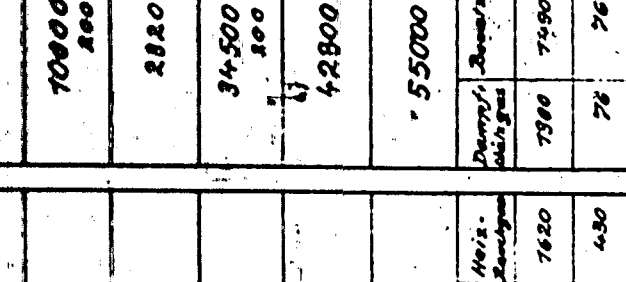
Fall 5

Wasserstrahl
aufgetrennt
in zwei Teile.
Die Teilstrahlen
fließen aufeinander
zu.



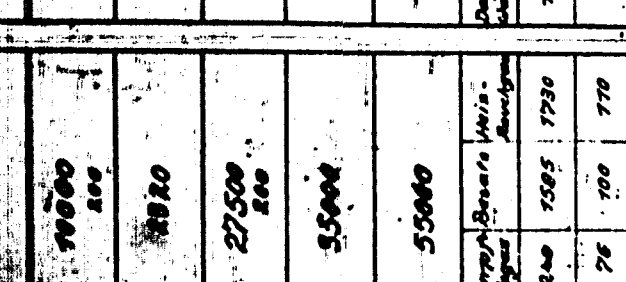
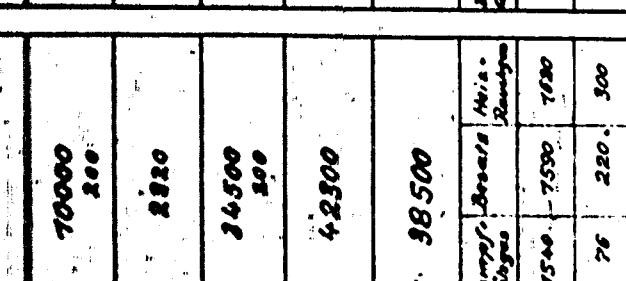
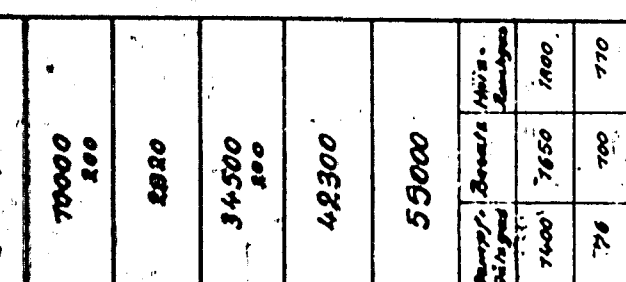
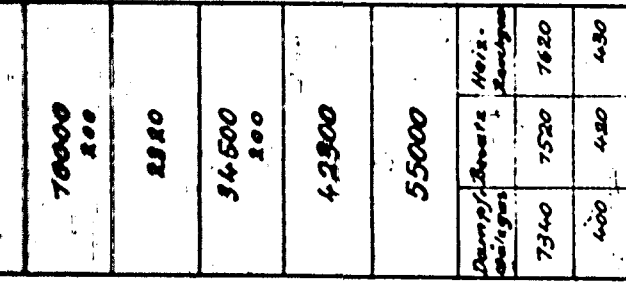
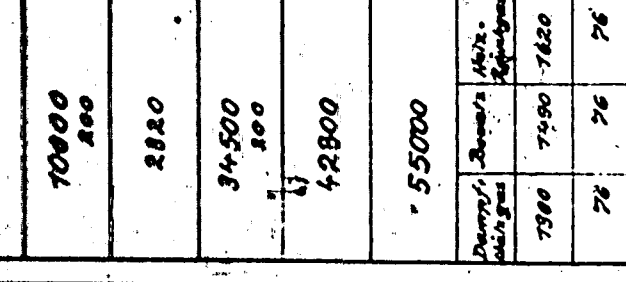
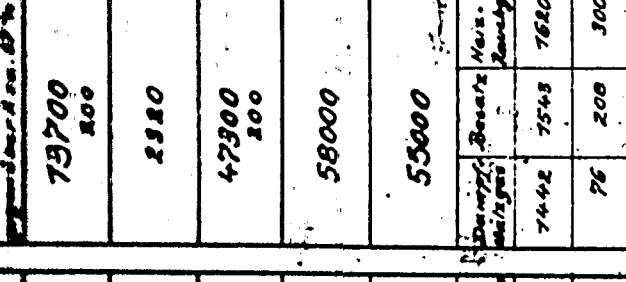
Fall 6

Wasserstrahl
aufgetrennt
in zwei Teile.
Die Teilstrahlen
fließen aufeinander
zu.



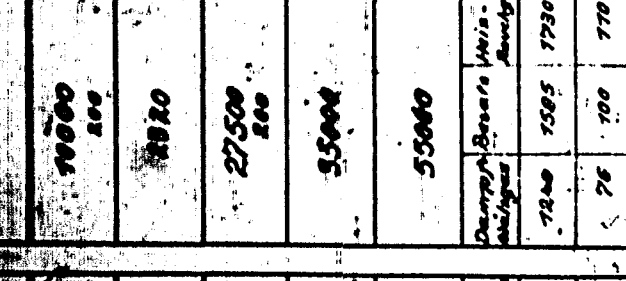
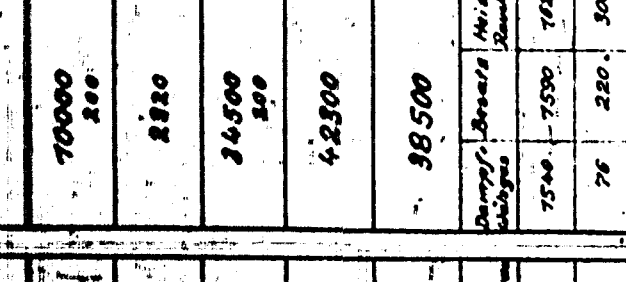
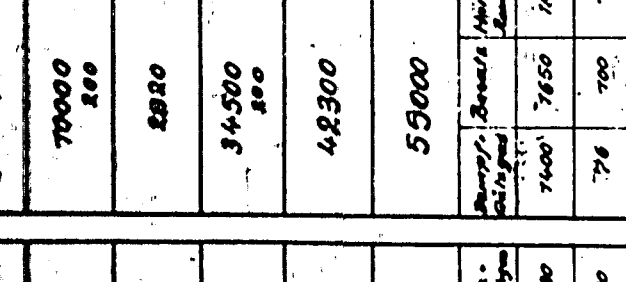
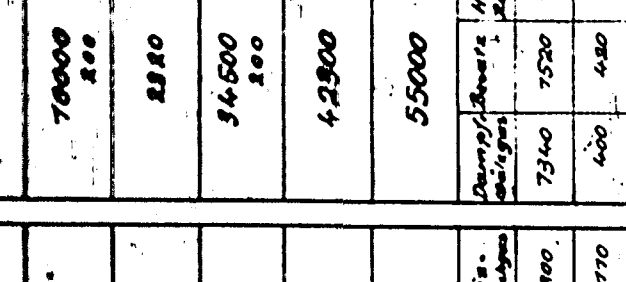
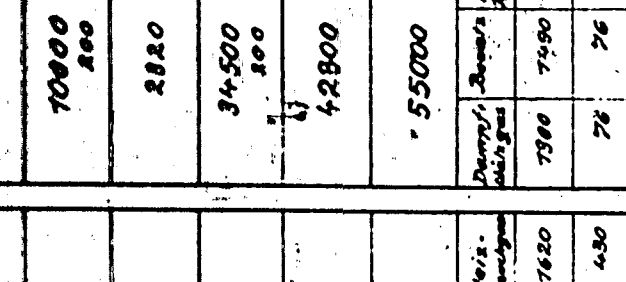
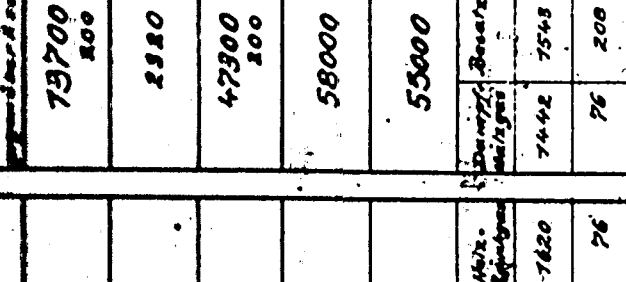
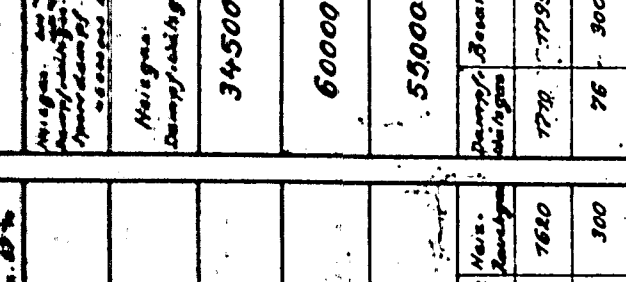
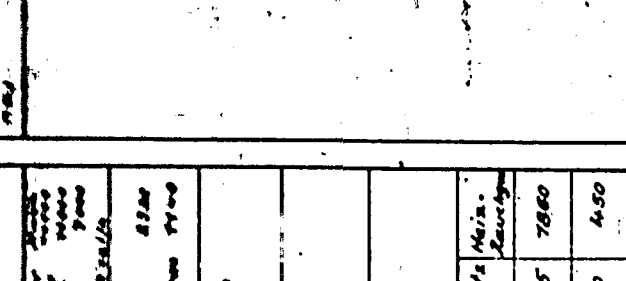
Fall 7

Wasserstrahl auf
getrennt in zwei
Teile, die aufeinander
zufließen beginnen.



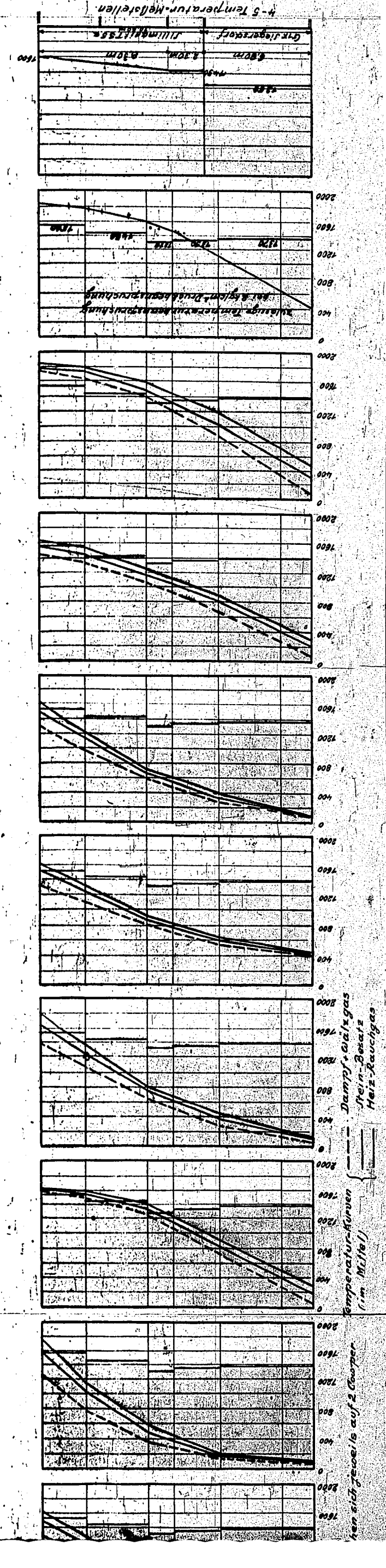
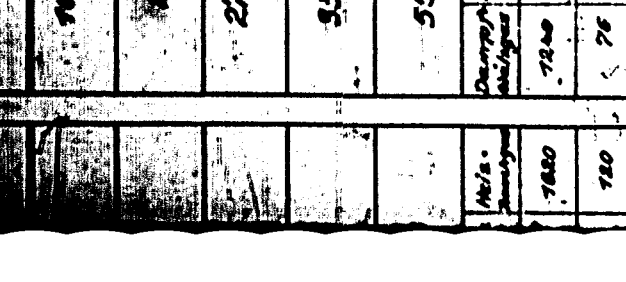
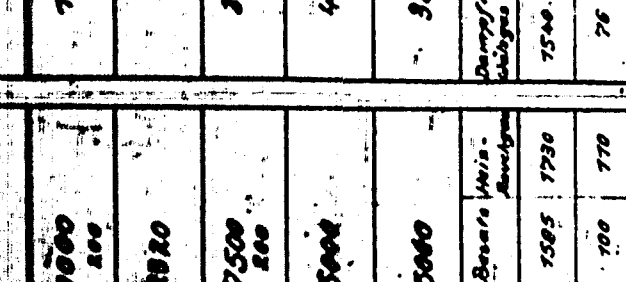
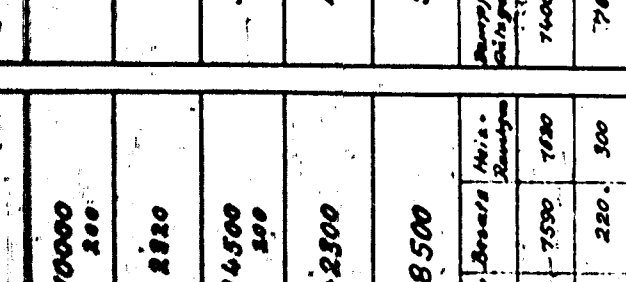
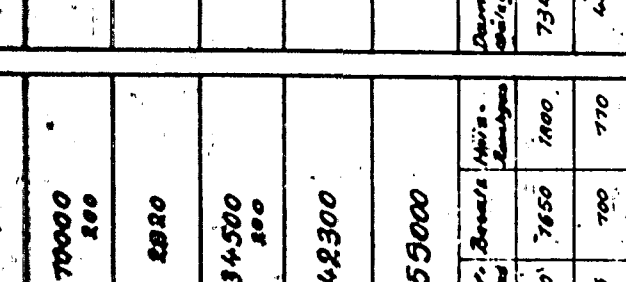
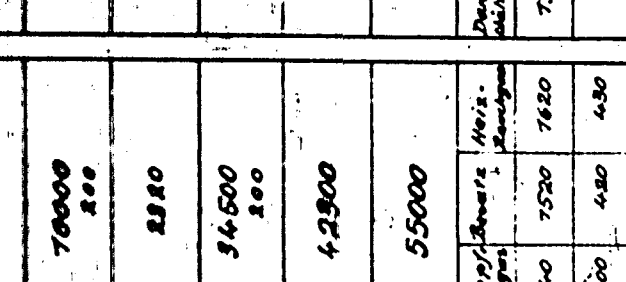
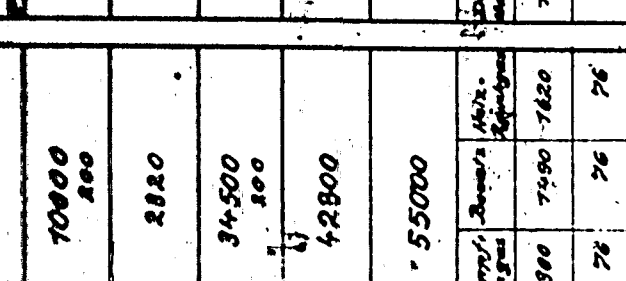
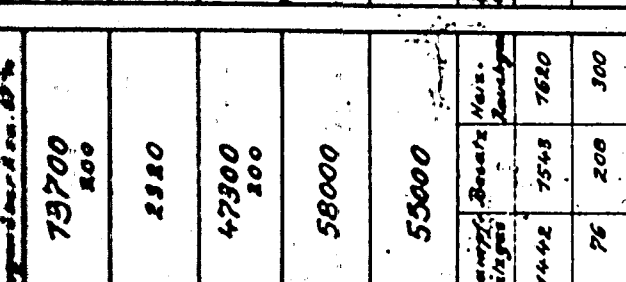
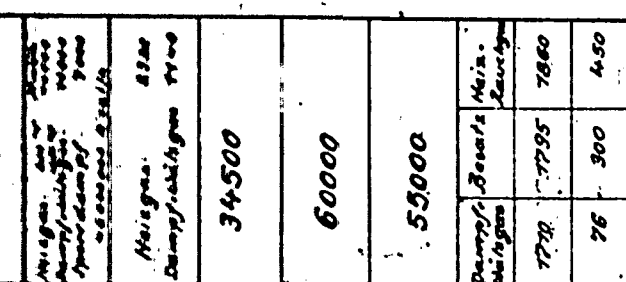
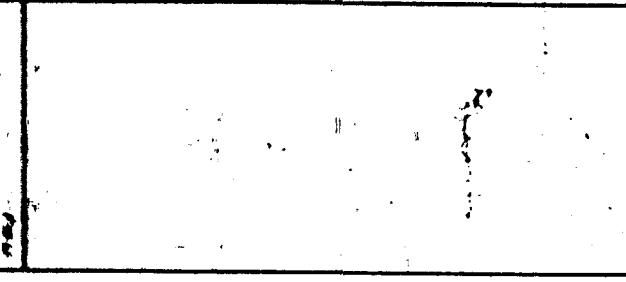
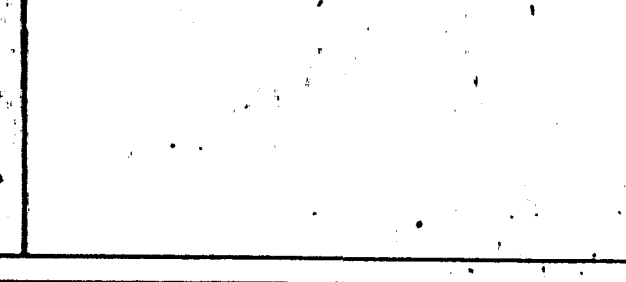
Fall 8

Wasserstrahl auf
getrennt in zwei
Teile, die aufeinander
zufließen beginnen.



Fall 9

Wasserstrahl auf
getrennt in zwei
Teile, die aufeinander
zufließen beginnen.



B o r r e c h n u n g

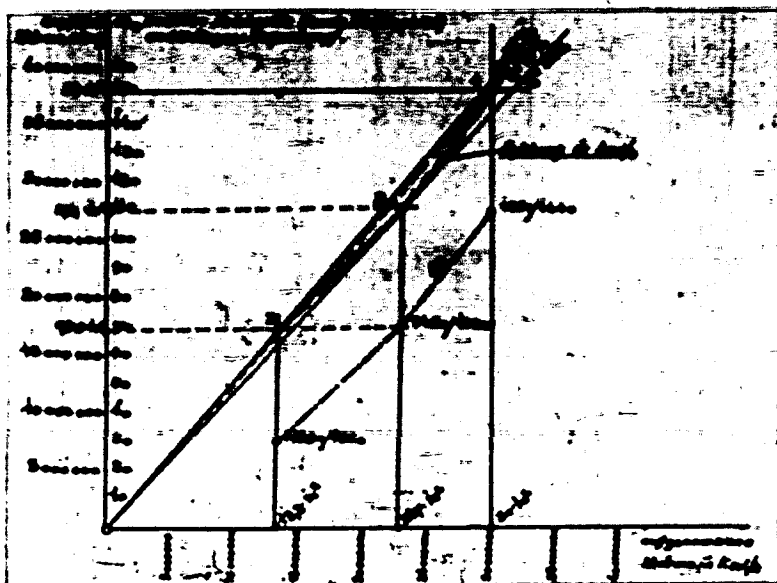
der Copperberechnungen des Feuerungsbaubetriebes Leuna
und des Herrn Dr. Schefels, Düsseldorf.

Nachdem bereits am 26. November d.Js. eine Vorbesprechung mit Herrn DI.Terbeck (Krabag Eihland) in Leuna stattgefunden hatte, wurde am 6. Dezember ein Vergleich zwischen den Copperberechnungen von Leuna und den Berechnungen, die auf Veranlassung von Herrn DI.Terbeck von Herrn Dr. Schefels ausgeführt waren, in Leuna durchgeführt.

Nach Klärung einiger Differenzen, die auf Grund verschiedenartiger Voraussetzungen und Annahmen sich ergaben, wurde durch gemeinsame teilweise Durchführung eines Rechnungsganges festgestellt, daß die gleiche Rechnungsmethode zur Anwendung kam.

Aus der großen Anzahl vorliegender Berechnungen wurden von Herrn DI.Terbeck folgende 3 Fälle gegenübergestellt, aus denen die Copperleistung in Abhängigkeit von der Besatztemperatur erkennbar ist:

| | 1 | 2 | 3 |
|--------------------------------------------------------------------------------------------|------------|------------|------------|
| Leuna: Fall 8 Leuna: Fall 1 Dr.Schefels: Fall 5 | | | |
| Dampf + Wälzgas Nm ³ /h | 55.000 | 45.000 | 26.000 |
| Eintritts-Temperatur 76° | | | |
| Aufheiz-Temperatur: | 1.440 | 1.380 | 1.350 |
| Aufgenommene Wärmemenge: kcal/h | 30.000.000 | 22.700.000 | 13.300.000 |
| Heizgas Nm ³ /h | 13.700 | 17.000 | 6.200 |
| Heizwert Hu kcal/Nm ³ /h | 2.320 | 1.100 | 2.320 |
| Vorwärmtemperatur: | 200 | 400 | 350 |
| Verbrennungsluft: Nm ³ /h | 47.300 | 32.500 | 20.200 |
| Vorwärmtemperatur: | 200 | 460 | 350 |
| Abgastemperatur: | 300 | 250 | 400 |
| Zugeführte Wärmemenge: kcal/h | 38.000.000 | 27.800.000 | 17.390.000 |
| Wirkungsgrad: aufgenommene Wärmemenge: % zugeführte | 79 | 62 | 76 |
| Temperatur der obersten Besatzsteinschicht: maximal ° | 1.600 | 1.510 | 1.450 |
| im Mittel ° | 1.550 | 1.450 | 1.380 |
| Temperaturdifferenz zwischen oberst. Steinschicht (tm) und Wälzgum/Dampf-Aufheizung: | 110 | 70 | 30 |



Aus dieser Aufstellung ist zu erkennen, daß die Leistung des Coppern abhängig ist von der Temperaturdifferenz zwischen höchstmöglicher Besatztemperatur und Dampf-Salzgas-Aufheizung. Wird daher als höchste Besatzbeanspruchung die von Ed. DI. Terbeck gesuchte Temperatur von 1450° zugelassen, so ergibt sich, daß der Copper nur genügt falls $3\ 26\ 000 \text{ m}^3/\text{h}$ Salzgas + Dampf auf 1380° aufheizen kann, wthin die geforderte Leistung nicht erzielt.

Es ist zu beachten, daß unter dieser Bedingung die evtl. zu geringe Vorwärmung des Salzgas-Dampf-Gemisches wahrscheinlich einen wesentlichen Einfluß auf das gesamte Vorfüllungsverfahren ausübt.

Wird als höchste Temperaturbeanspruchung des Besatzes die Temperatur von 1600° zugelassen, was z.B. nach dem Prüfungsbefund von Leuna mit der Sillmannqualität "TS5a" der Firma Europ. Koppers möglich erscheint, so ist die geforderte Leistung zu erreichen: $55\ 000 \text{ m}^3/\text{h}$ Salzgas-Dampf auf 1440° zu erhitzten.

Alle Annahmen für die Rechnungsbeispiele erzielten nicht die offenbar vorhanden gewesene hohe Temperaturbeanspruchung im Copperbesatz. Es wurde daher unsere Ansicht erläutert, daß durch Zutritt aufgeheizten Salzgases aus dem zweiten Copper bzw. dem Generator (infolge undichten Abschlusses) und Verbrennung desselben mit dem vorhandenen Luftüberschub die hohen Temperaturen, die zum Zusammenbruch des Besatzes führten, aufgetreten sein können.

ANALYTIK MORSBURG

G.M.b.H.,

Materialprüfung Nr. 973.

W./V2A/Kn.

Auftrag-Nr. Nr. 4678.

Löbau, Werke, den 7.12.1957 Seite

B e r i c h t

Über die Untersuchung des Steinmaterials des
Copperbesatzes und der Schläcken im Vergaser 1
der Schmelzfeld-Anlage Werk Ruhland.

ooooo

Das Besatzmaterial des Copper im Werk Ruhland war massenabgebrochen und
eine starke Verschlackung des Vergasers 1 war eingetreten. Zur Beurteilung der
Gründe für die aufgetretenen Schäden wurden vom Materialprüfungsbetrieb, Labora-
torium für Baustoffprüfung, des Ammoniakwerks Morsburg die Untersuchungen nach
folgenden Gesichtspunkten durchgeführt.

A. C o u p e r .

- I. Beurteilung des eingelieferten Steinmaterials bezüglich Form und Zustand.
- II. Prüfung der Eigenschaftswerte des Besatzmaterials nach den Methoden der Prüfung feuerfester Baustoffe.
- III. Chemische Untersuchung der eingelieferten Steinmaterialien.

B. V e r g a s e r 1 .

- I. Verschlackungsbeständigkeit des Steinbesatzes (Didier 100) der Kuppel im Vergaser 1.
- III. Untersuchung über die Schläckemahlstufen im Vergaser 1 und Verbindungsstück Vergaser 1 und 2.

C. U n t e r s u c h u n g

der Kohle der Gruben Marga und Clara.

Zwecks Durchführung der Untersuchung wurden die nachstehenden Materialien
durch das Werk Ruhland der Baustoffprüfung eingeliefert:

A. C o u p e r b e s a t z - M a t e r i a l .

a = neues Material.

b = eingebautes Material.

Ab = H-K = Material 1/3 Kastenstein.

Abl = H-K = " 1 Kastenstein aus der obersten Lage mit Korrosion am Kopfende.

Ab2 = H-K = " 1 Kastenstein aus der 4. Lage von oben.

Ab3 = H-K = " " " " " " " " " " (4 Teile).

- Dz1 - Qualität Mullital II 1/3 Kastenstein.
 Dz2 - " " "
 Dz3 - " " 1 Fullstein.
 Dz4 - " " "
 Dz5 - " " 1 Kastenstein.
 Dz6 - " " 1 Kastenstein und Fullstein aus der 15. Lage
 von oben (1. Lage Mullital II).
 Dz7 - dto. aus der 20. Lage von oben (6. Lage Mullital II).
 Dz8 - dto. Kastenstein aus der 28. Lage von oben.
 Da1-3 - Qualität Didier 120 3 Fullsteine gleicher Form.
 Da1 - dto. 1 Kastenstein aus der ca. 34. Lage (ca. 2. Lage Didier 120).
 Da2 - dto. 2 Kastensteine und Fullsteine 39. und 39. Lage von oben,
 mit gelbbraunem Niederschlag.
 Da3 - dto. 2 Kastensteine und Fullsteine aus der 38. und 39. Lage von oben.
 (6. und 7. Lage Didier 120).
 Dr. - 3-Qualität Didier 100 3 Fullsteine gleicher Form.
 Dr4 - Qualität Didier 100 Randstein zu den Kisten.
 Dz1 - dto. 3 Kasten- und Fullsteine, Lage 43 - 45 von oben,
 (1.- 3. Lage Didier 100).
 Dz2 - dto. 1 Kastenstein 46. Lage von oben (4. Lage Didier 100).
 Ea1 - Qualität Didier 80 1 Kastenstein.
 Ea2 - " " 1 Fullstein.
 Eb1 - " " 1 Kastenstein mit Korrasion (Schlackenbildung).
 Eb2 - " " 1 Kastenstein 60. Schicht von oben
 (5. Schicht Didier 80).
 Eb3-4 - " " 2 Fullsteine 60. Schicht von oben, gleiche Form.

B. Schläcken- und Steinmaterial aus dem Vergaser.

- F - rotbraune, aus tropfenartigen Gebilden zusammengesetzte Schläcke aus
 dem Schlackenberg am Boden des Vergasers I.
 G 1-4 - Schläckenproben (überwiegend kompakt, obere Schicht blasig) aus dem
 Verbindungskanal zwischen Vergaser I und II.
 H 1-2 - 2 Schamottesteine ca. 235 x 205 x 245 mm.
 Preszeichen: N 15838 - V 126, Didier 100, neues Material.
 J - 1 Schamottestein, Didier 100, aus der Kuppel des Vergasers I.
 K - Asche, im CO₂-Strom hergestellt aus Rohkohle Grube Margr.
 L - Asche, im CO₂-Strom hergestellt aus Rohkohle Grube Clara.
 K und L wurden von der Braunkohlen-Vergasung des Ammoniakwerkes
 Hörseburg dem Materialprüfungsamt übergeben.

| Unsere Bezeichnung | Steinart | Angegebene Lage im Ofen | Inhalterer Befund |
|--------------------|------------|-------------------------------------|------------------------------------------------------------------------------------------------------------------------------------------------------------------------------------------------------------------------------------------------------------------|
| Ca 1 - 3 | Didier 120 | neues Material 33. Lage von oben | Je 1 Füllstein, Brennhaut netzförmig gerissen, Gefüge grobkörnig. Kasten- und Füllstein. Sinterung an einzelnen Stellen, stark deformiert, Füllstein sitzt noch lose, ist aber verbogen. Kasten und Füllstein tragen etwas korrodiert. Erweichung im Betrieb. |
| Cb 2. | " | 38. und 39. Lage von oben | 2 zusammengeinterte Kastensteinen, verzogen, Sinterung innen, Füllsteine sitzen vollkommen fest, auf einer Längsseite gähnlicher Ansatz, Erweichung im Betrieb. |
| Cb 3 | " | " | 2 zusammengeinterte Kastensteinen, sehr stark verdichtet und verzogen, leichte Sinterung innen, Korrosionsansätze innen schwach, Längsriss, Füllsteine sitzen vollkommen fest. Erweichung im Betrieb. |
| Da 1 - 3 | Didier 100 | neues Material " | Je 1 Füllstein, Brennhaut netzförmige Risse, Gefüge grobkörnig. |
| Da 4 | " | " | Randstein, wie vor. |
| Db 1 | " | 43.- 45. Lage von oben | 3 zusammengeinterte Kastensteinen, verdreht und gebogen, geringe Sinterung innen, geringe Korrosionsangriffe innen und außen. Füllsteine sitzen vollkommen fest. Erweichung im Betrieb. |
| Db 2 | " | 46. Lage von oben | Kastenstein, stark deformiert, rissig, ganz geringe Sinterung und Korrosion. Erweichung im Betrieb. |
| Ea 1 | Didier 80 | neues Material " | Kastenstein, sauber geformt, Gefüge feinkörnig. |
| Ea 2 | " | " | Füllstein, wie vor. |
| Eb 1 | " | Lage nicht angegeben | Kastenstein, Form gut, leichte Braunkärfung, schwache Korrosion an einer Ecke, scheinbar äußerlich beeinflusst durch Nachbarstein. |
| Eb 2 | " | 60. Lage von oben | Kastenstein, Form gut, leichte Braunkärfung, keine Schäden. |
| Eb 3 u. 4 | " | " | Je 1 Füllstein, Form gut, leichte Braunkärfung, keine Schäden. |

A. Sawyer.

I. Beschreibung des eingeschlossenen Steinmaterials.

Der Zustand des eingeschlossenen Steinmaterials der einzelnen Beutestücken des Koppers und des neuen noch nicht eingeschlossenen Materials ist aus den Bildern Nr. 1 - 5 zu ersehen.

1. eingeschlossener Fundus ergab:

| Unsere Bezeichnung | Steintyp | Angabe der Lage im Kopper | Inniger Fund |
|--------------------|-------------------------|-------------------------------------------|-------------------------------------------------------------------------------------------------------------------------------------------------------------------------------------------------------------------------------|
| Ab | H - K Koppers | neues Material | 1/3 Kastenstein, Gefüge feinkörnig. |
| Ab 1 | " | oberste Lage | Kastenstein, schief gedrückt, oberes Ende stark aufgebläht und korrodiert, außen und innen stark rissig, im Betrieb erweicht. |
| Ab 2 | " | 4. Lage von oben | Kastenstein, stärker deformiert als Stein Ab 1 (oberste Lage), außen und innen stark rissig, geringe Korrosion an beiden Enden, im Betrieb erweicht. |
| Ab 3 | " | 9. Lage von oben | Kastenstein, stark deformiert, rissig, Angriffe gering, innen stärker als außen, geringe Erweichung im Betrieb. |
| Ba 1,2 u. 5 | Mullital II (Didier) | neues Material | 1 und 2 je 1/3 Kastenstein, Gefüge etwas grobkörnig. 5 ein Kastenstein, gut geformt, Gefüge etwas grobkörnig. |
| Ba 3 u. 4 | " | neues Material | je 1 Füllstein, gut geformt, Gefüge etwas grobkörnig. |
| Bb 1 | " | 15. Lage von oben | Kastenstein, etwas zusammengedrückt, außen etwas Schmelzfluß, innen Sinterungsscheinungen ziemlich stark, auf einer Seite stärker als auf der anderen. Füllstein sitzt fest und ist verformt, stärkere Erweichung im Betrieb. |
| Bb 2 | " | 20. Lage von oben(6. Lage Mullital II) | Kastenstein, etwas zusammengedrückt, Sinterung etwas schwächer als bei Bb 1, auf einer Seite Sinterung und Schlackenangriff; Füllstein sitzt fest und etwas verformt. Stärkere Erweichung im Betrieb. |
| Bb 3 | " | 28. Lage von oben | Kastenstein, wenig verändert, Anfänge von Sinterung innen und außen. |

II. Eigenschaftswerte der Steinmaterialien.

Die Prüfung der Eigenschaftswerte der Steinmaterialien wurde an neuen, noch nicht eingebauten Material durchgeführt. Die Untersuchung erstreckte sich auf:

- Feststellung des Segerkegelschmelzpunktes nach DIN 1061,
- Feststellung der Druckfeuerbeständigkeit nach DIN 1064,
- Feststellung des Beginns der Sinterung an der Oberfläche.

Die Sinterungsversuche wurden an 2×2 cm großen 0,6 mm starkem aus dem Steinmaterial herausgeschnittenen Plättchen, von denen 3 Stück ohne jegliche Belastung übereinander gelegt wurden, durchgeführt. Die Versuchsdauer betrug 4 Stunden.

Die ermittelten Eigenschaftswerte sind in der nachstehenden Tabelle zusammengestellt:

| Unsere Bezeichnung | Steinart | Segerkegelschmelzpunkt | Druckfeuerbeständigkeit | | | Temp. der beginnenden Oberflächensinterung |
|--------------------|--------------------------------------|--------------------------------|-------------------------|-------------|---------------------|--------------------------------------------|
| | | | ta Signal | tn DIN 1064 | te | |
| An | H-K-Material (Sillimanit-Koppers) | SK 34 ^I (>1750°) | >1560° ^I | - | - | - |
| Ba 1-2 | Mullit-Al II (Sillimanit Didier) | SK 34 ^I (>1750°) | 1450° | 1540° | >1580° ^I | 1650° |
| Ca 1-2 | Didier 120 | SK 34 (1750°) | 1310° | 1380° | >1580° ^I | 1470° |
| Da 1,4 | Didier 100 | SK 34 (1750°) | 1350° | 1420° | >1570° ^I | 1450° |
| Da 1,2 | Didier 80 | SK 32/33 (1720°) | 1370° | 1430° | >1560° ^I | 1430° |

^I Die Versuche wurden bei den angegebenen Temperaturen abgebrochen, da die betreffenden Versuchsapparaturen höhere Temperaturen nicht zulassen.

In der Anlage Nr. 6 ist der Aufbau des Cowperbesatzes, wie von Werk Ruhland angegeben, aufgetragen. Die einzelnen, in vorstehender Tabelle ermittelten Eigenschaftswerte der einzelnen Steinarten, wie Segerkegelschmelzpunkt, beginnende Oberflächensinterung und die Ergebnisse der Druckfeuerbeständigkeitsprüfung sind eingezzeichnet.

Der Segerkegelschmelzpunkt besagt, bei welcher Temperatur das Steinmaterial ohne Berücksichtigung irgendwelcher gleichzeitiger Druckverhältnisse erreicht, er gibt also bereits ein stark vorgeschrittenes Stadium der Deformation an.

Die Druckfeuerbeständigkeit gibt darüber Aufschluß, bei welcher Temperatur das feuerfeste Material bei Belastung von 2 kg/cm^2 erweicht. Die Linie, die die Längenänderung in Abhängigkeit von der Temperatur angibt, verläuft steigend flach.

Der t_0 -Signal-Wert ist derjenige Temperaturpunkt, der beim direkten Anwärmen des Prüfkörpers unter einer Belastung von 2 kg/cm^2 eine Umkehr der Längenänderung ergibt. Dieser Temperaturpunkt wird bei unserer Versuchsaapparatur durch ein Signal angegeben.

Der t_0 -Wert nach DKE 1064 ist derjenige Punkt der Druckerwärmungskurve, an dem diese um 3 mm in ihrem höchsten Punkt t_0 abgesunken ist.

Die beginnende Oberflächensinterungstemperatur ist diejenige Temperatur, bei der die Oberfläche des Steinmaterials zu sintern beginnt; bei der angegebenen Temperatur waren die ohne jegliche Belastung übereinander gelegten 3 Versuchsplättchen zusammengeklebt.

Die mit einem χ angegebenen Temperaturen der Lagen der einzelnen Besatzszenen stellen die mittäglichen über längere Zeit eingewirkten Maximal-Temperaturen an den Steinoberflächen dar. Diese eingetragenen Oberflächentemperaturen sind in Vergleich mit den durch Versuche festgestellten Sinterungerscheinungen ermittelt.

Aus den Untersuchungsergebnissen ist zunächst zu erkennen, daß die Druckfeuerbeständigkeit des Steinmaterials Didier 120 niedriger liegt als diejenige der Steinmaterialien Didier 100 und Didier 80. Somit ist der Einbau eines in seiner Druckfeuerbeständigkeit ungünstigeren Steinmaterials in einer stärker beanspruchten Zone erfolgt. Auf Grund der Form und des Zustandes des eingesetzten Materials und der durchgeführten Steinuntersuchungstemperaturen ist mit aller Wahrscheinlichkeit zu schließen, daß das Besatzmaterial in den oberen Schichten über das noch zulässige Temperaturniveau beansprucht worden ist. Die Erweichungszustände des Silliminitmaterials sind als sekundäre Erscheinung daran erkennlich, daß die plastische Deformation nicht durch axiale, sondern durch senkrecht zur Rohrachse liegende Kräfte herbeigeführt worden ist.

3. Chemische Untersuchung.

Die chemische Untersuchung wurde sowohl am Ausgangsmaterial, also am neuen noch nicht eingesetzten Material, als auch an eingesetzten Steinmaterialien mit offensichtlicher Verbänderung durchgeführt. Die Entnahmestellen der Proben für die Analysen des eingesetzten Steinmaterials sowie das Ergebnis der chemischen Untersuchung sind in den Anlagen 7 und 8 zusammengestellt.

Allgemein läßt die Analyse erkennen, daß sowohl bei dem K-L-Material (Copolyr) und dem Mallital-Stein von Didier eine mehr oder weniger starke Anreicherung von Fe_2O_3 und Ca O sowohl in den einzelnen Steinschichten des Steines selbst als auch in den einzelnen Besatzsteinen des Copolyr stattgefunden hat. Die Anreicherung entstammt höchstwahrscheinlich dem durch die in dem Copolyr durch die Verbrennungsgase in feinster Form mitgeführten Flugascheteilchen, die sich an dem durch die vorherrschenden Temperaturen erreichten Steinbesatz niedergeschlagen haben, dort festgebacken und teilweise in dem Stein diffundiert sind. Der an den Innen- und Außenseiten der Besatzsteine Didier 120 und Didier 100 anhaftende gelblich bis gelblich-bräune Belag läßt diesen Schluß ebenfalls zu.

B. Vergaser.

Bei dem Vergaser I lagen folgende Schäden vor:

- 1) Die aus Schamottesteinen Didier 100 hergestellte Vergaserkuppel zeigte starke Abbausetzungen.
- 2) Starke Schlackenbildung am Boden des Vergasers I und dem Verbindungsstück Vergaser I und II.

Folgende Untersuchungen wurden durchgeführt:

- I. Verschlackungsbeständigkeit der Kuppelsteine Didier 100 und des K-K.-Materials von Koppers.
- II. Feststellung der chemischen Zusammensetzung der Schlacken und ihrer Schmelzpunkte.

I. Verschlackungsbeständigkeit.

Der Zustand des beschädigten Kuppelsteines Didier 100 ist aus dem Lichtbild Anlage 19 zu ersehen. Durch das Einblasen des Braunkohlenstaubes in den Vergaser ist die aus feuerfestem Baustoff hergestellte Vergaserkuppel durch die herumfliegenden heißen Aschenteilchen der Korrosion und der gerade dort herrschenden hohen Temperaturen besonders ausgesetzt. In Anlehnung an diese Art der Beanspruchung durch den Braunkohlenstaub wurde die Prüfung der Verschlackungsbeständigkeit im Aufstreuverfahren durchgeführt.

Aus dem zu prüfenden Steinmaterial wurden Zylinder von 36 mm Ø und 36 mm Höhe ausgebohrt und an allen Flächen glatt geschliffen. Als Versuchsofen diente ein Kohlegrieswiderstandsofen, der unten geschlossen war, die Zone mit annähernd gleicher Höchsttemperatur war ca. 10 cm lang. Die Messung der Temperatur erfolgte durch ein Platin-Platin-Rhodium-Thermoelement. Die Steinprobe stand inmitten der Glühzone auf einem Kohlestempel. 25 g des feingepulverten Aschenmaterials wurden durch ein Quarzrohr mit Trichter in einzelnen kleinen Portionen im Verlauf von 45 Minuten eingebracht. In weiteren 15 Minuten hatte die Schlacke genügend Zeit zur Nachwirkung, so daß die gesamte Versuchsdauer jeweils eine Stunde betrug.

Die Prüfung erfolgte bei Verwendung von:

- a) Asche der Kohle der Grube Marga,
- b) Asche der Kohle der Grube Clara.

Die Gewinnung der Aschen erfolgte aus der entsprechenden Kohle der vorgenannten Gruben bei 800 - 850° im CO₂-Strom, dem 25 % Luft - 5 % Sauerstoff zugesetzt war. Die ermittelten Schmelzpunkte der Aschen liegen bei folgenden Temperaturen:

Aschen

Marga Clara

Temperatur in °C ~ 1200° 1215°.

Die Versuche wurden bei einer Temperatur von 1300° bzw. 1450° in reduzierender Atmosphäre durch Einleitung von Kraftgas durchgeführt. Einen Überblick über die Gesamtergebnisse zeigen die Lichtbilder auf Anlagen 10 und 11.

Beschreibung der Korrosionsprozesse nach der Behandlung mit den beiden Aschen.

| Steinart (Auftrags-Nr.) | Asche der Kohle Grube Marga | Asche der Kohle Grube Clara | Versuchs- temperatur |
|-----------------------------------------|---------------------------------------------------------|----------------------------------------------------------|-------------------------|
| Didier 100 (Fo 4578 H 1) | Asche vollkommen geschmolzen, starke Angriffe | Asche vollkommen geschmolzen, sehr starker Angriff | 1300° |
| H-K.-Material Koppers (Fo 4678 A) | Asche vollkommen geschmolzen, keine Angriffe | Asche vollkommen geschmolzen, schwä- che Angriffe | 1300° |
| dto. | Asche vollkommen geschmolzen, schwä- che Angriffe | Asche vollkommen geschmolzen, schwä- che Angriffe | 1450° |

Die Untersuchung hat gezeigt, daß die Angriffe durch die Asche der Kohle der Grube Clara bei dem bisher verwendeten Besatzmaterial der Kuppel Didier 100 bedeutend stärker sind als durch die Marga-Asche. Bei 1300° zeigt der Sillimanitstein H-K.-Koppers nur durch die Clara-Asche schwache Angriffe; bei 1450° sind die Angriffe der Clara-Asche nicht wesentlich stärker als die der Marga-Asche. Vergleicht man weiterhin zur Beurteilung der beiden Aschen die Schmelzkurven auf Anlage 22, so ist zu erkennen, daß der Einfluß freier Alkalien der Asche der Kohle der Grube Clara stärker in Erscheinung tritt als bei der Asche der Kohle der Grube Marga.

Eine Auskleidung der Kuppel mit Sillimanitmateriale wird sich wesentlich widerstandsfähiger zeigen als die bisherige Auskleidung mit Schamottematerial Didier 100.

II. Analysen und Schmelzverhalten der Schlacken aus dem Vergaser.

Den Zustand der sich am Boden des Vergasers I und im Verbindungsstück zwischen Vergaser I und II gebildeten Schlackenanhäufungen zeigt Lichtbild Anlage 12. Die Analysen der einzelnen Schlacken aus den verschiedenen Stellen des Vergasers befinden sich in der Anlage. Die Schmelzkurven der einzelnen Schlacker nach Bunte-Baum sind in den Anlagen 14 - 19 beigelegt.

Der Verschlackungsvorgang ist vermutlich so gewesen, daß weich gewordene Schlackenteilchen an der Wand und am Boden des Vergasers kleben blieben und sich dort anhäuften. Bei zeitweisem Ausbleiben der Kohlenzufuhr haben wahrscheinlich die heißen Gase die am Vergaserboden befindliche Schlacke geschmolzen, die dann in das Verbindungsstück zwischen Vergaser I und II abfloss und dasselbe stark verengte. Die Änderungen in den Eisenverbindungen der einzelnen Schlacken lassen auf vorgeherrschte hohe Temperaturen schließen. Daß die zum Aufschmelzen der Schlacken erforderlichen hohen Temperaturen vorgelegen haben müssen, kann auch

aus der Ratsache geschlossen werden, daß der SO₃-Gehalt der Schlacken sehr gering gegenüber dem SO₃-Gehalt der Reinsache ist. Da die Bindung des SO₃ überwiegend an CaO verliegt, kann diese Dissoziation des Ca SO₄ nur bei sehr hohen Temperaturen, etwa in der Größenordnung von ca. 1300° erfolgt sein.

C. Untersuchung der Kohle der Gruben Marga und Clara.

Die vollständige Untersuchung der Kohle der Gruben Marga und Clara wird in den Anlagen 20 und 21, die Schmelzkurven der Aschen dieser beiden Kohlen in Anlage 22 beigelegt.

Zusammenfassung.

Die durchgeföhrte Steinuntersuchung des Besatzmaterials des Cowper hat gezeigt, daß der Stein Didier 120 in der Druckfeuerbeständigkeit ungünstigere Eigenschaftswerte aufweist, als die in tiefen Zonen gelegenen Besatzsteine Didier 100 und 80. Der Einbau eines in der Druckfeuerbeständigkeit geringwertigeren Steinnaterials war within an einer starker beanspruchten Zone erfolgt. Die Steinuntersuchungen ließen weiterhin erkennen, daß der Cowper über das zulässige Temperaturmaß beansprucht worden ist.

Die mehr oder weniger starke Anreicherung des Besatzmaterials mit Fe_2O_3 und CaO kann nur von in den Cowper gelangten Ascheteilchen herrühren. Es ist zu vermuten, daß Braunkohlestaub aus dem Vergaser in den Cowper zurückgetreten ist und daß mit dem Rücktritt der Kohle auch sicherlich Wassergas in den Cowper gelangte, wodurch eine zusätzliche Beheizung erfolgte.

Die Verschlackungsbeständigkeit hat gezeigt, daß die Asche der Kohle der Grube Clara die untersuchten Steinnmaterialien stärker angegriffen hat als die Asche der Kohle der Grube Marga. Eine Auskleidung der Vergaserkuppel mit Silluminitematerial wird sich wesentlich widerstandsfähiger zeigen als die bisherige Auskleidung mit Schamottematerial Didier 100..

Die Änderungen in den Eisenverbindungen und die starke Reduktion des ursprünglichen Gipes in den in dem Vergaser sich angesammelten Schlacken lassen auf im Vergaser vorgeherrschte hohe Temperaturen schließen. Schlackenangriff und die hohen Temperaturen veranlaßten das starke Abschmelzen der Kuppelauskleidung.

Koch
Th. W.

Auftrag-Nr. 50 4670.

Schmalbifeld-Anlage, Ruhland.

Steinbausatzmaterial aus verschiedenen Lagen des Cowpers.

A - E.-K. - Steinmaterial, Fa. Koppers.



1/3 Kastenstein.
Neues Material.

x 0,3
Ng: 19038.

Ab 1

Ab 2



x 0,3 Ng: 19039

Kastenstein aus oberster Lage des
Cowpers.

x 0,3 Ng: 19040

Kastenstein aus 4. Lage von oben.

Kastenstein aus
9. Lage von oben.

Ab 3



x 0,3 Ng: 19041 a.

Ammoniakwerk Merseburg
Gesellschaft mit beschränkter Haftung
Materialprüfungsbetrieb Nr. 175

20890
Anlage Nr.

Auftrag-Nr. Be 4678

Schmehlfeldt-Anlage, Ruhland.

Steinbautenmaterial aus verschiedenen Lagen des
Cowpers.

B = Mullital II - Firma Didier.

Bb 1 -
Bb 5



Kastensteine und
Füllsteine.
Neues Steinmaterial.

Ng: 19055.

x 0,14

Bb 1



Kasten- und Füllstein
aus der 15. Lage von
oben.
(1. Lage Mullital II)

Ng: 19043

x 0,3

Bb 2:

Kasten und
Füllstein aus
der 20. Lage
von oben.
(6. Lage Mullital
II)

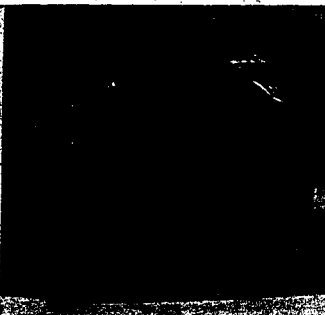


Bb 3:

Kastenstein aus
der 28. Lage von
oben.

x 0,25

Ng: 19044



Ammoniakwerk Merseburg

Gesamtwerk zur Herstellung von Ammonium
Materialprüfungsabteilung Nr. 175

200-1

Anlage Nr. 3

Auftrag-Nr. Fe 4678.

Schmehlfeld-Anlage, Ruhland.

Steinbegattmaterial aus verschiedenen Lagen des Cowpers.

C - Schamottestein Didier 120.

Ca 1

Ca 3



Füllsteine.

Neues Steinmaterial.

x 0,3
Ng: 19045.

Cb 1



x 0,3 Ng: 19046
Kasten- und Füllstein aus der
35. Lage von oben.

Cb 2



x 0,25 Ng: 19047 b.
2 Kasten- und Füllsteine aus der
38. und 39. Lage von oben, mit
gelbbraunem Niederschlag.

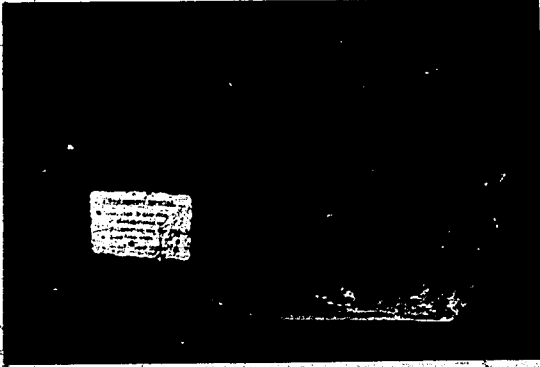
Cb 3



x 0,3 Ng: 19048 b.

2 Kasten- u. Füllsteine aus der 38.u.39.Lage von oben.

Cb 3



x 0,25 Ng: 19048 a.

Ammoniakwerk Merseburg

Gesellschaft mit beschränkter Haftung
Materialprüfungsbetrieb Ma 175.

Anlage Nr. 208-2

Auftrag-Nr. Pg 4670.

Schmehlfeld-Anlage, Ruhland.

Steinbesatzmaterial aus verschiedenen Lagen des Cottare.

D - Schamottestein Didier 100.

Da 4

Da 1

Da 2



x 0,14

Ng: 19049.

Bandstein und
Füllsteine.
Neues Material.

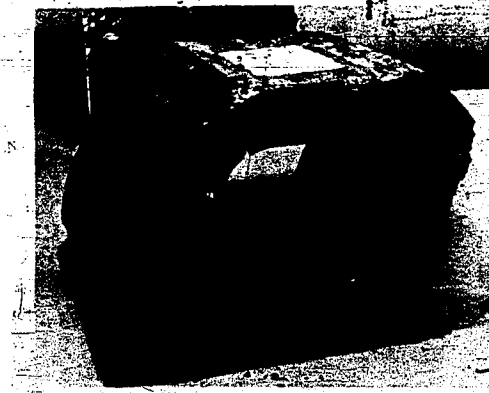
Db 1



3 Kasten- und Füll-
steine aus der 43 - 45
Lage von oben.
(1-3 Lage Didier 100).

x 0,3 Ng: 19050.

Db 2



Kastenstein aus der
46. Lage von oben.
(4. Lage Didier 100).

x 0,3 Ng: 19051.

Ammoniakwerk Mersaburg

Gesellschaft mit beschränkter Haftung
Materialprüfungsbetrieb Abt 175

20083

Anlage Nr. 5

Auftrag Nr. Fe 4678.

Schmalzfeldt-Anlage, Ruhland.

Steinmaterial aus verschiedenen Lagen des Coppers.

E = Schamottestein Didier 80.

Ea 1



Ea 2

Ng: 19052

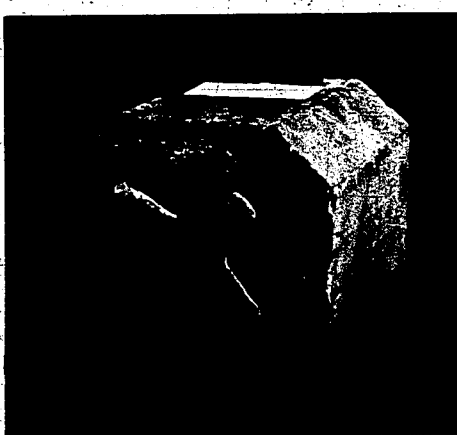
Eb 1



Eb 3

Ng: 19053

Eb 2



Ng: 19054

Eb 2
Kasten und Füllstein
aus der 60. Lage.
(5. Schicht Didier 80)

Fo 4578

Anlage 6

20894

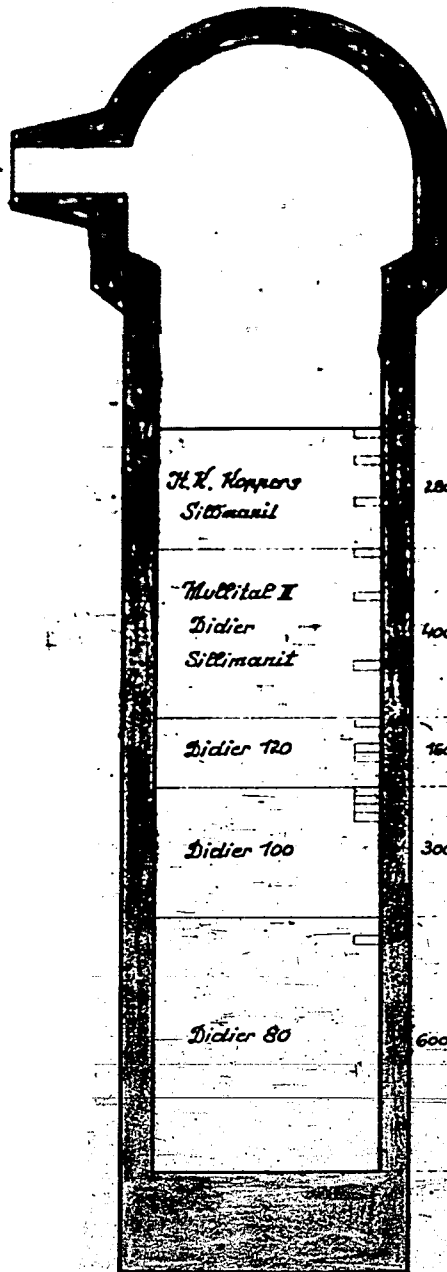
Temperaturdiagramm

für das Besatzmaterial des Schmaltzfeld

Conpens.

Werk Ruhland

Die gestrichelten Werte sind den Angaben
der Firma entnommen.



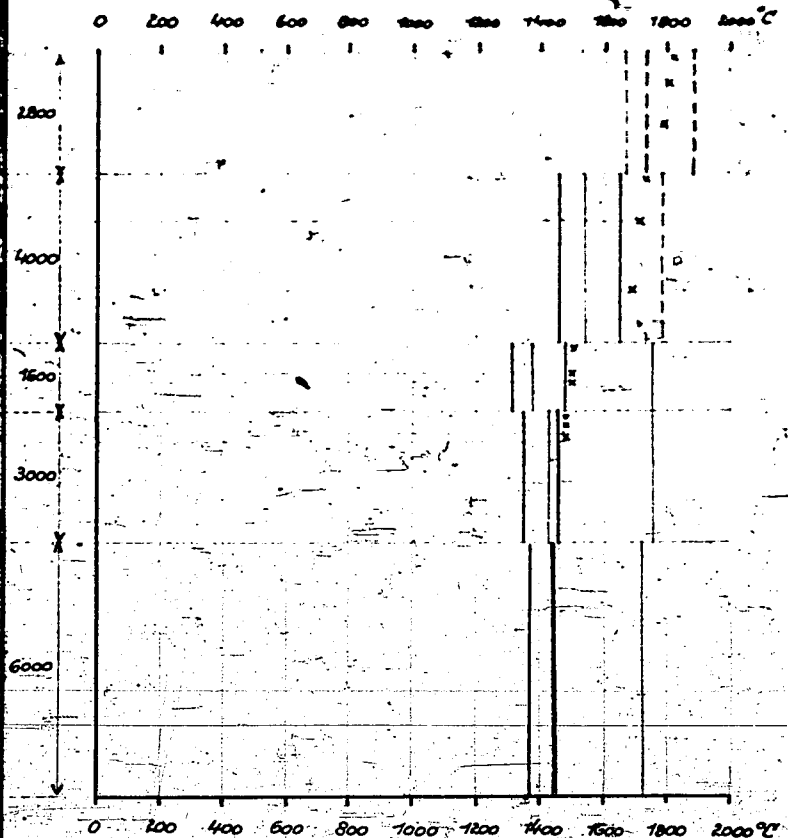
H.K. Koppers
Sillimanit

Mullital II
Didier
Sillimanit

Didier 720

Didier 100

Didier 80



— ta Signal — Kegelschmelzpunkt

— ta DIN 1064 — beginnende Oberflächen-
sinterung

x — mutmaßliche maximale Oberflächentemperatur

Anlage - Nr. Nr. 4678.

Schmelzfeld-Anlage-Werk Ruhland.

Anlage Nr. 7.

Chemische Untersuchung des Steinmaterialg.

H-K.-Material-Nr. Koppers.

| Ab names Stein- material | Steinmaterial aus ober- ster Lage des Compars Ab I | | | | Steinmaterial aus der 4. Lage von oben Ab 2 | | | | Steinmaterial aus der 9. Lage von oben Ab 3 | | | | Steinmaterial aus der 14. Lage von oben Ab 4 | | | |
|-----------------------------------|----------------------------------------------------------|------|-------|------|---------------------------------------------------|------|-------|------|---------------------------------------------------|------|------|------|----------------------------------------------------|------|--------|------|
| | Ab III | | Ab IV | | Ab I | | Ab II | | Ab III | | Ab I | | Ab II | | Ab III | |
| | % | % | % | % | % | % | % | % | % | % | % | % | % | % | % | % |
| SiO ₂ | 24,3 | 18,4 | 23,3 | 13,9 | 8,9 | 17,3 | 25,3 | 24,8 | 20,1 | 26,7 | 27,0 | 27,0 | 27,0 | 27,0 | 27,0 | 27,0 |
| Al ₂ O ₃ | 0,7 | 4,0 | 2,4 | 2,0 | 2,0 | 5,0 | 2,6 | 2,4 | 9,2 | 2,4 | 3,4 | 3,4 | 3,4 | 3,4 | 3,4 | 3,4 |
| TiO ₂ | 1,0 | 0,5 | 1,2 | 1,0 | 0,9 | 0,6 | 1,0 | 1,0 | 0,7 | 1,2 | 1,1 | 1,1 | 1,1 | 1,1 | 1,1 | 1,1 |
| Al ₂ O ₃ | 73,4 | 73,2 | 70,6 | 80,6 | 86,8 | 75,0 | 70,5 | 70,5 | 63,6 | 68,6 | 67,4 | 67,4 | 67,4 | 67,4 | 67,4 | 67,4 |
| CaO | 0,5 | 2,8 | 1,8 | 1,3 | 1,3 | 3,8 | 0,8 | 1,1 | 1,1 | 6,4 | 1,1 | 1,6 | 1,6 | 1,6 | 1,6 | 1,6 |
| MgO | 0,1 | 0,5 | 0,3 | 0,3 | 0,2 | 0,2 | 0,2 | 0,2 | 0,2 | 0,2 | 0,2 | 0,2 | 0,2 | 0,2 | 0,2 | 0,2 |
| Alkalien | 0,2 | 0,3 | 0,3 | 0,3 | 0,3 | 0,2 | 0,1 | 0,1 | 0,1 | 0,1 | 0,1 | 0,1 | 0,1 | 0,1 | 0,1 | 0,1 |
| SO ₃ | 0,1 | 0,3 | 0,1 | 0,1 | 0,1 | 0,1 | 0,1 | 0,1 | 0,1 | 0,1 | 0,1 | 0,1 | 0,1 | 0,1 | 0,1 | 0,1 |
| Gewichts- verlust | 0,2 | 0,2 | 0,1 | 0,2 | 0,1 | 0,1 | 0,1 | 0,1 | 0,1 | 0,1 | 0,1 | 0,1 | 0,1 | 0,1 | 0,1 | 0,1 |

20895

An 2. 7

Archiv-Nr. 4678.

Anlage Nr. 8.

Zehmühlfeld - Anlage - Auhland.
Ökonomische Untersuchung des Steinmaterials und Steinbelosse.

| Bauart III - Didier | | Didier 100 | | Didier 102 | |
|------------------------------------|------|-----------------------------------------------------------------------------------------------------|------|------------------------------------------------------------------------------------------------|------|
| Neues Steinmate-Stein- material | | Gelblich-bräunlicher Belag auf Steinen in der 35. Lage von oben, Lage v. innen u. außen | | Gelblich-bräunlige Masse auf Steinen (Längsseite) in der 38. u. 39. Lage von oben. | |
| Ba 1 | Ba 4 | Cb 2 | Cb 3 | Db 1 | Db 2 |
| 3102 | 40,3 | 40,4 | 33,8 | 39,1 | 36,1 |
| 3003 | 0,9 | 0,9 | 7,6 | 10,8 | 16,4 |
| 3402 | 1,2 | 1,3 | 4,3 | 1,1 | 0,9 |
| 41203 | 56,6 | 56,7 | 53,2 | 32,4 | 27,7 |
| 3803 | 0,6 | 0,5 | 3,0 | 15,1 | 16,9 |
| 160 | 0,2 | 0,2 | 0,6 | 1,3 | 1,9 |
| Akkretion | 0,2 | 0,2 | 0,4 | 0,4 | 0,3 |
| SO ₂ | 0,1 | 0,1 | 0,0 | 0,0 | 0,0 |
| SiO ₂ | 0,1 | 0,2 | 0,2 | 0,4 | 0,5 |
| Verlust | | | | | 2,3 |

20896

Anz. 4

Ammoniakwerk Merseburg
Gesellschaft mit beschränkter Haftung
Materialprüfungsbetrieb Nr. 176

Anlage Nr. 9

Auftrag-Nr. 70 4678.

20897

Schmahlfeldt-Anlage, Ruhland.

Steinbesatz der Kuppel Vergaser 1.

Schamottematerial Didier 100

Neuer
Stein

Durch
Schlackenangriff
beschädigter
Stein



x 0,2

Ngt 19164

Ammoniakwerk Merseburg

Gesellschaft für chemische Werke
Materialprüfungsanstalt Nr. 175

Anlage Nr. 10

Auftrag-Nr. Fa. 4670.

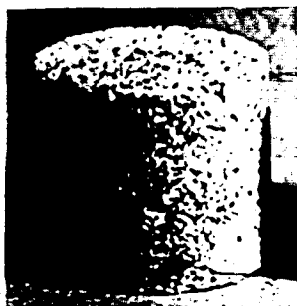
2089d

Schmehlfeld-Anlage, Ruhland.

Prüfung der Verschlackungsbeständigkeit nach dem Aufstreuverfahren.

Asche der Kohle der Grube Marga.

Schamottematerial Didier 100.



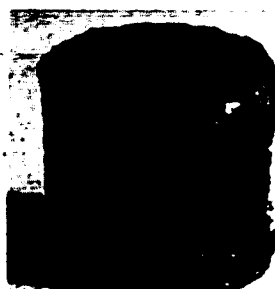
x 1/1 Ng: 19277

Der zum Versuch vorbereitete Steinzyylinder.
(Ausgangsmaterial)



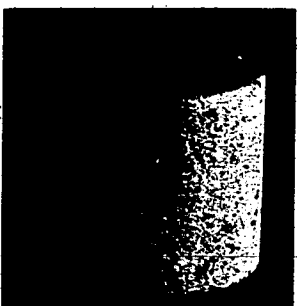
x 1/1 Ng: 19204

Die mit der Asche beträufelten Körper.
Versuchstemperatur 1300°.



x 1/1 Ng: 19205

H.-K. - Material, Fa. Koppers.



x 1/1 Ng: 19205

Der zum Versuch vorbereitete Steinzyylinder.
(Ausgangsmaterial)



x 1/1 Ng: 19204

Die mit Asche beträufelten Körper.
Versuchstemperatur
1300°



x 1/1 Ng: 19278

1450°

Auftrag-Nr. Nr. 4678.

20399

Schmalfeldt-Anlage, Kuhland.

Prüfung der Verschleißfestigkeit nach dem Aufstreuverfahren.

Asche der Kohle Grube Marga.

Schamottematerial Didier 100.



x 1/1 Ng: 19277

Der zum Versuch vorbereitete Steinzyylinder.
(Ausgangsmaterial)



x 1/1 Ng: 19279

Der mit der Asche beträufelte Körper.
Versuchstemperatur 1300°.

H.-K. - Material, Fa. Koppers.



x 1/1 Ng: 19205

Der zum Versuch vorbereitete Steinzyylinder.
(Ausgangsmaterial)



x 1/1 Ng: 19278

Die mit der Asche beträufelten Körper.
Versuchstemperatur
1300° 1450°



x 1/1 Ng: 19279

Ammoniakwerk Merseburg
Gesellschaft für chemische Werke
Materialprüfungsanstalt Nr. 176

Anlage Nr. 12

Auftrag-Nr. 70 4670.

Schmehlfeld-Anlage, Ruhland.

20900

Schlackenanhäufungen aus Vergaser 1.



Schlackenberg am
Boden Vergaser 1.

x 0,35
Ng: 19084.

G 1



(oben)

x 0,35
Ng: 19081.

G 2 u. G 3



x 0,35
Ng: 19082

G 4



(unten)

x 0,35
Ng: 19083.

G 1 - G 4 = Schlackenanhäufungen im Verbindungsstück Vergaser 1 u. 2.

Ausleg 4675

Anlage: 13
20901

Schmahlfeldt Anlage Ruhland.

Verschlackung des
Vergasers I.

Mangakohle.

September 1937

| | EiG | Al ₂ O ₃ | FeO | TiO ₂ | CaO | MgO | Alt. | SiO ₂ | Ge/S | C | Farbentwickl. | Brennzeitungsp. | Schmelzpunkt |
|------------|------|--------------------------------|------|------------------|------|-----|------|------------------|------|------|---------------|-----------------|--------------|
| Rain-Arche | 12,0 | 4,7 | y- | 33,3 | 21,4 | - | - | 29,4 | - | - | 9,6 | 850°/1200° | |
| → | 42,5 | 9,2 | y- | 27,8 | 18,0 | - | - | Spur | - | - | - | 825°/920° | |
| → | 38,6 | 25,7 | y- | 27,9 | 18,0 | - | - | Spur | 5 | - | - | 945°/990° | |
| → | 38,7 | 17,9 | y- | 27,1 | 18,6 | - | - | Spur | - | - | - | - | 905° |
| → | 37,4 | 6,3 | 3,2 | 32,0 | 17,8 | 2,6 | 0,4 | 1,0 | 0,03 | 0,03 | - | - | 795° |
| → | 30,7 | 9,7 | 26,8 | 8,8 | 20,9 | 3,6 | 0,2 | 0,3 | 0,0 | 0,02 | - | 845°/950° | |
| → | 30,6 | 9,9 | 26,2 | 8,8 | 21,2 | 3,0 | 0,3 | 0,1 | 0,2 | 0,07 | - | 975°/1050° | |
| → | 30,6 | 10,4 | 26,5 | 2,4 | 21,7 | 2,8 | 0,3 | 0,2 | 0,3 | 0,07 | - | - | 980° |
| → | 29,5 | 10,3 | 21,6 | 1,6 | 23,0 | 3,7 | 0,4 | 0,1 | 0,6 | 0,02 | - | 845°/1050° | |

y) nicht bestimmt.

Schäkendorf § 1.

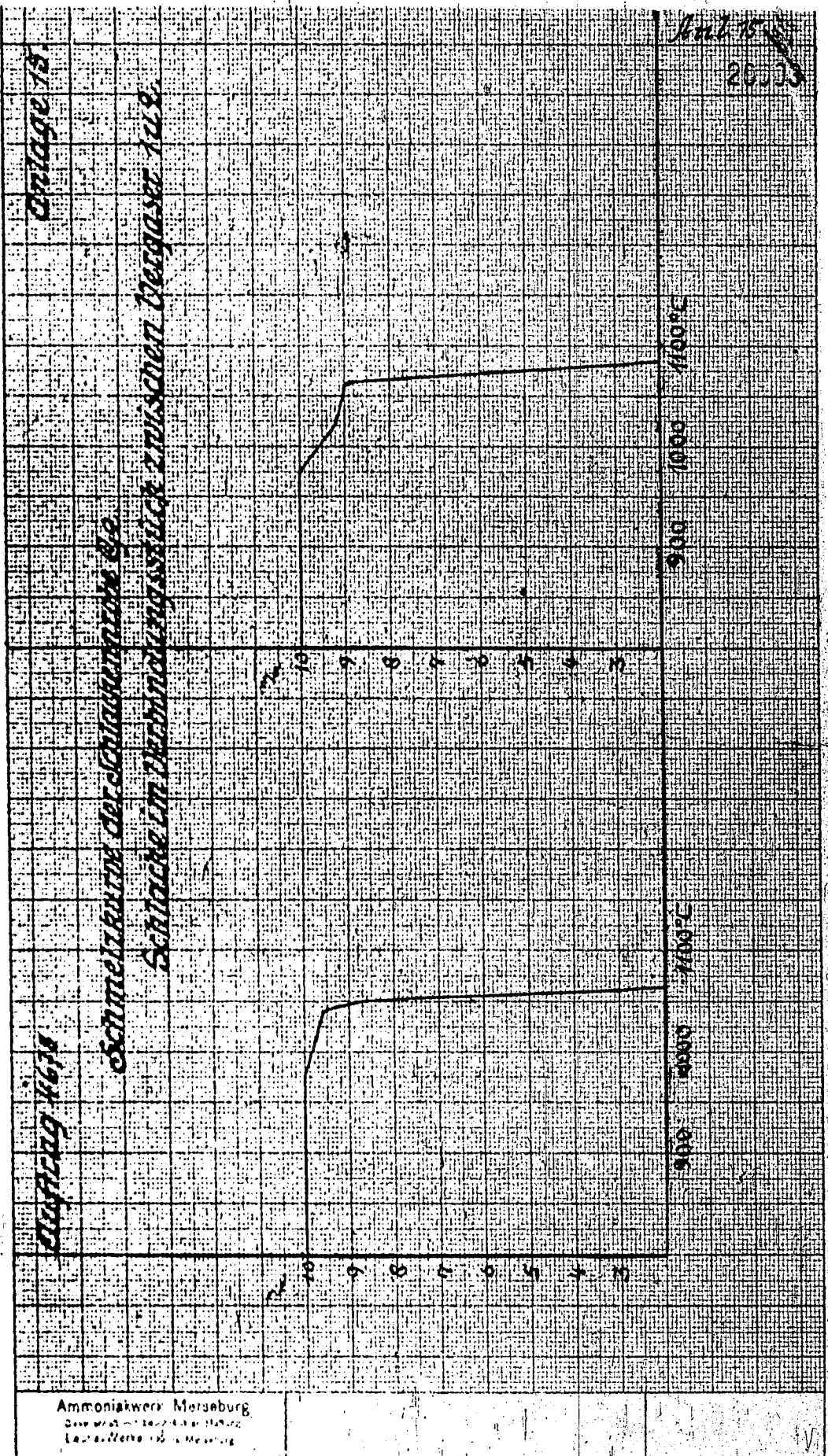
Ms. 1325.

Z 671 - 2572

Ammoniakwerk Merseburg
Gesetzlich erlaubte Höchstmenge
Laut Werte (Von Merseburg)

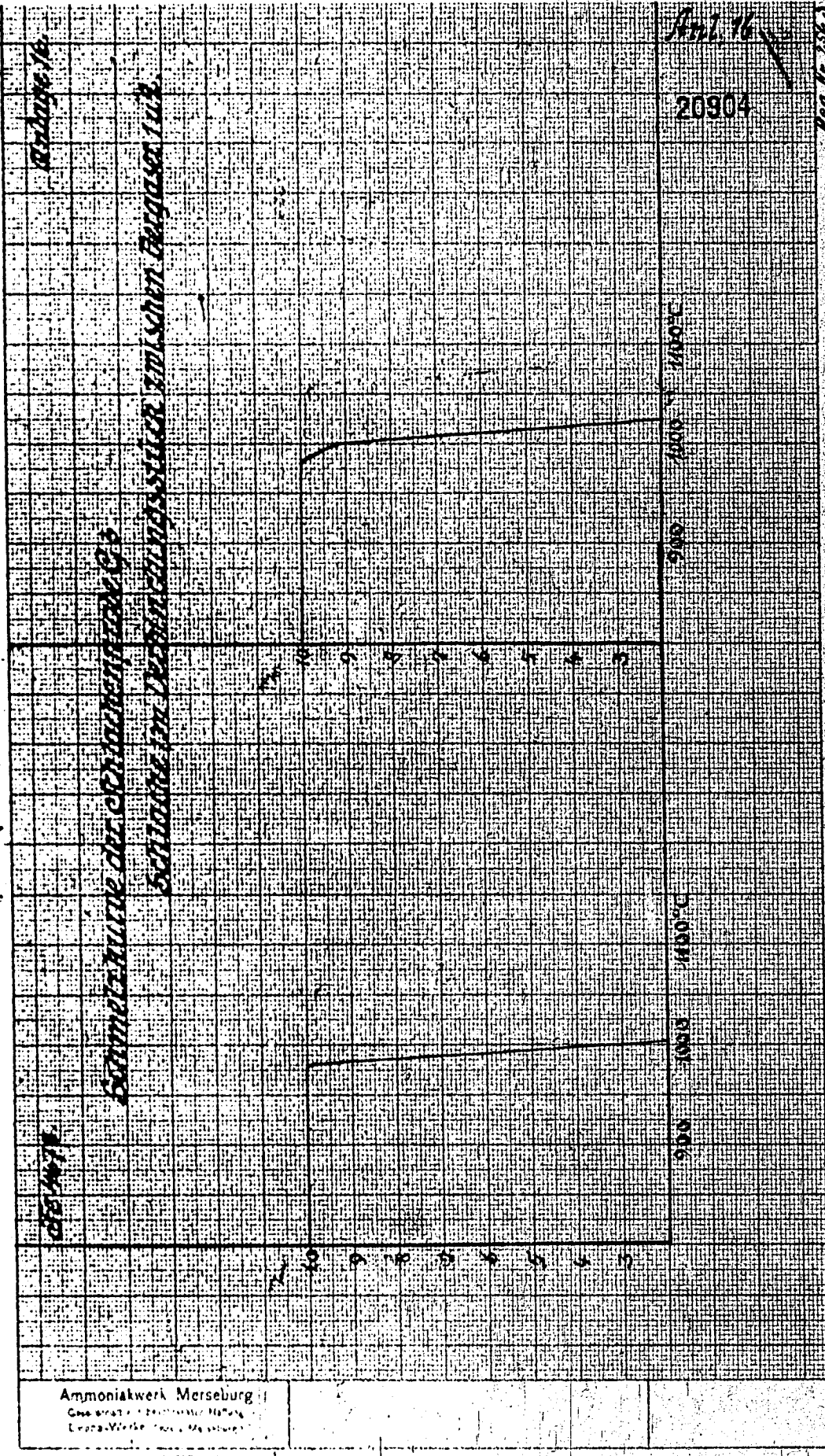
200

200



W. 1837

Schichtungswk. 3:3



W. 2383

7.7.1975

20005

20004 0004 005

20004 0004 005

20004 0004 005

20004 0004 005

20004 0004 005

20004 0004 005

20004 0004 005

20004 0004 005

20004 0004 005

20004 0004 005

20004 0004 005

20004 0004 005

20004 0004 005

20004 0004 005

20004 0004 005

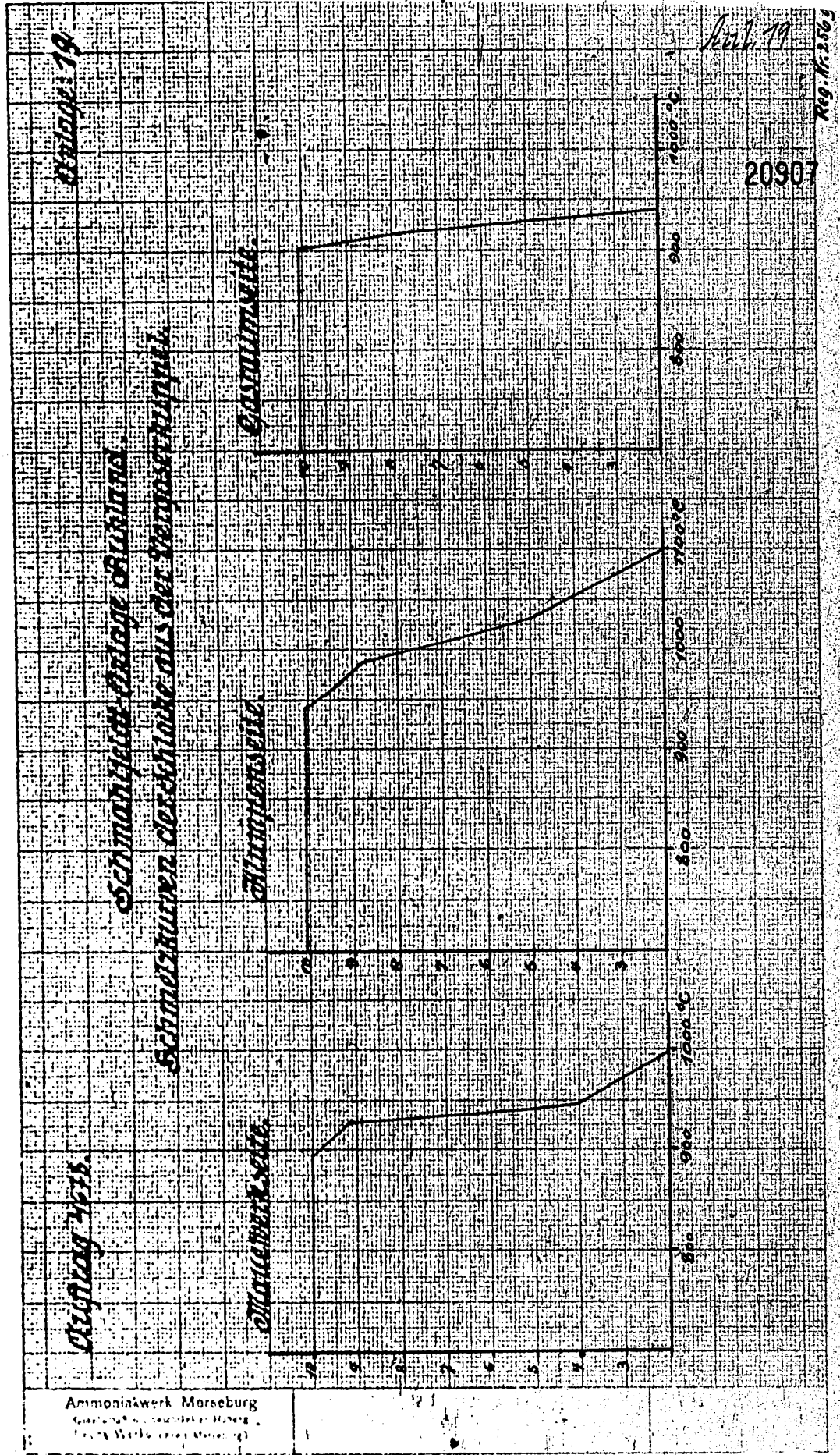
20004 0004 005

Ammoniakwerk Moritzburg
Oberlausitzische Kohlenwerke
Lauditzwerke (VVB) Moritzburg

Schlackenmutter 4688 F

| Schlackenmutter 4688 F | | | | | | | | | |
|------------------------|----|----|----|----|----|----|----|----|----|
| 1 | 2 | 3 | 4 | 5 | 6 | 7 | 8 | 9 | 10 |
| 100 | 99 | 98 | 97 | 96 | 95 | 94 | 93 | 92 | 91 |
| 90 | 89 | 88 | 87 | 86 | 85 | 84 | 83 | 82 | 81 |
| 80 | 79 | 78 | 77 | 76 | 75 | 74 | 73 | 72 | 71 |
| 70 | 69 | 68 | 67 | 66 | 65 | 64 | 63 | 62 | 61 |
| 60 | 59 | 58 | 57 | 56 | 55 | 54 | 53 | 52 | 51 |
| 50 | 49 | 48 | 47 | 46 | 45 | 44 | 43 | 42 | 41 |
| 40 | 39 | 38 | 37 | 36 | 35 | 34 | 33 | 32 | 31 |
| 30 | 29 | 28 | 27 | 26 | 25 | 24 | 23 | 22 | 21 |
| 20 | 19 | 18 | 17 | 16 | 15 | 14 | 13 | 12 | 11 |
| 10 | 9 | 8 | 7 | 6 | 5 | 4 | 3 | 2 | 1 |
| 0 | | | | | | | | | |

Ammoniakwerk Merseburg
Gesamtanlagenleistung
Edu-Werke (exkl. Mindestpreis)



Tafel 10

Brennstoffuntersuchung: Mangai P.B.H mit 540% H₂O

von Prüfung. Wert gefunden
2888

Fischerschmelzung bis 550°C

| | S.R.H. wasserfrei | Grude | Bildungs- H ₂ O | Urein | Gas (0°-750) | | | |
|---------------------|----------------------|---------|-------------------------------|---------|--------------|-----------------------|--------------------------|-----------------------------|
| | | | | | 1000 g | | 229 (= 151,8 l) | |
| | | | | | 100% | 570 | 117 | 88 |
| | | % glabs | % glabs | % glabs | % glabs | Volumen % | g/m³ | g/abs |
| C | 61,6 | 61,6 | 78,0 | 49,9,6 | - | 61,1 | 61,2 | CO ₂ 56,3 C 51,9 |
| H | 47 | 47 | 27 | 16,6 | 71,2 | 73,1 | 94 | H ₂ S 14 H 4,7 |
| O | 23,6 | 23,6 | 8,1 | 46,3 | 89,8 | 104,9 | - | unverd. 2,1 O 92,0 |
| N | 0,9 | 0,9 | 0,6 | 3,5 | - | - | - | N 0,0 N 0,0 |
| S flüssig | 0,2 | 2 | 0,1 | 9,6 | - | 0,6 | 0,1 | S 29,3 S 3,0 |
| S in Asche | 1,0 | 1,0 | 1,3 | 7,5 | - | - | CO 15,8 | Siebung |
| Asche Diff. | 8,0 | 8,0 | 12,7 | 61,6 | - | - | H ₂ 8,5 | über 8 mm 77 % |
| Asche im Zustrom | 6,4 | 6,4 | 12,3 | 77,1 | - | - | CH ₄ 12,3 | • 6 • 3,1 |
| | | | | | | | über CH ₄ 2,8 | • 4 • 8,3 |
| | | | | | | | Ne 0,0 | • 3 • 7,5 |
| H ₂ | 5824 | - | 7191 | - | 9447 | H ₂ 2964 | - | • 2 • 9,0 |
| H ₂ U | 5578 | - | 7045 | - | 8939 | H ₂ U 2714 | - | • 1 • 77,6 |
| | | | | | | D 1,505 | - | • 0,2 • 14,2 |
| | | | | | | | - | • 0,1 • 14,3 |
| | | | | | | | - | unter 0,1 9,9 |
| | | | | | | | - | 13,6 |

Hochtemperaturentgasung der 550°C Grude bis 1100°C

| | Hohes | Bildungs- H ₂ O | Teer | Gas (0°-750) | | | |
|---------------------|---------|-------------------------------|------|--------------------------|----------|--------|--------------------------------------------|
| | 483,6 | 5,8 | 1,3 | 87,3 (= 151,8 l) | | | |
| | 83,7 | 1,0 | 0,2 | 15,1 | | | |
| | % glabs | % glabs | | Volumen % | g/m³ | g/abs | Analyse |
| C | 87,9 | 42,50 | | CO ₂ 94 | C 22,7,2 | C 34,4 | SiO ₂ 12,9 Cd 0,4 |
| H | 0,2 | 0,9 | 11,2 | H ₂ S 0,4 | H 80,8 | H 12,3 | Al ₂ O ₃ 4,7 S 0 |
| O | 0,9 | 4,4 | 88,8 | ungefällt 0,0 | O 26,2 | O 39,6 | TiO ₂ 33,2 SO ₃ 24,4 |
| N | 0,1 | 0,5 | | H ₂ 0,0 | N 0,0 | N 0,0 | Mn - Cl - |
| S flüssig | 0,03 | 0,1 | | CO 0,0 | S 3,9 | S 0,9 | CaO 21,4 P 0,5 |
| S in Asche | 1,7 | 8,2 | | CO 17,4 | - | - | MgO 3,3 Silicat - |
| Asche Diff. | 10,9 | 52,7 | | H ₂ 57,4 | - | - | |
| Asche im Zustrom | 14,7 | 77,1 | | CH ₄ 15,4 | - | - | |
| | | | | über CH ₄ 0,0 | - | - | |
| | | | | Ne 0,0 | - | - | Wasserlös. 9,5 % |
| H ₂ | 7260 | - | | H ₂ 3761 | - | - | Einschl. Punkt 843 °C |
| H ₂ U | 7233 | - | | H ₂ U 3349 | - | - | Schmelzpunkt 1210 °C |
| | | | | D 0,576 | - | - | (Me 431-SK 8310) |

445392 67

Brennstoffuntersuchung: "Clara" R.P.H mit 60% H₂O

von "Eduard" Braunkohle- u. Blechtfabrik, Wiesloch, Neckarsteinach.

Hochtemperaturuntersuchung bis 550 °C

20909

| | S.P.H. mengenförmig | Grude | Bildungs- H ₂ O | Urein | Gas (0°-760°) | | | |
|-----------------------|------------------------|-------|-------------------------------|-------|---------------|---------|-----------------|----------------------|
| | | | | | % glabs | % glabs | % glabs | Volumen % |
| | | | | | g/labs | g/labs | g/labs | g/m³ |
| C | 653 | 653 | 7773 | 4362 | | | | |
| H | 50 | 50 | 89 | 759 | W.R. | 11.2 | 9.9 | H ₂ S |
| O | 23.3 | 23.3 | 96 | 52.4 | 88.8 | 88.8 | - | CO ₂ |
| N | 27 | 27 | 04 | 22 | | | - | N ₂ |
| S flüssig | 91 | 1. | 01 | 05 | | | 02 | 0.0 |
| S in Asche | 06 | 6 | 06 | 33 | | | 0.0 | 17.1 |
| Asche Diff | 42 | 42 | 73 | 399 | | | H ₂ | 6.8 |
| Asche im Luftstrom | 49 | 49 | 83 | 454 | | | CH ₄ | 13.5 |
| Ho | 6281 | - | 7250 | - | | | | über CH ₄ |
| Hu | 6010 | - | 7713 | - | | | | N ₂ |
| | | | | | | | | 4.5 |
| | | | | | | | | 3 |
| | | | | | | | | 2 |
| | | | | | | | | 1 |
| | | | | | | | | 72 |
| | | | | | | | | 1.0 |
| | | | | | | | D | 1.500 |

Hochtemperaturuntersuchung der 550 ° Grude bis 1100 °

| | Kohles | Bildungs- H ₂ O | Teer | Gas (0°-760°) | | | | |
|-----------------------|--------|-------------------------------|------|----------------------|-----------|-----------|--------|----------------------------------------------------------|
| | | | | % glabs | % glabs | Volumen % | g/m³ | |
| | | | | g/labs | g/labs | g/labs | g/labs | |
| | 4550 | 7.1 | 1.1 | 83.8 | (= 752 l) | | | Asche |
| | 832 | 1.3 | 0.2 | 15.3 | | | | |
| | | | | | | | | Analysen |
| C | 89.8 | 4086 | | CO ₂ | 8.4 | C 277.0 | C 330 | SiO ₂ 88 Ofk. 01 |
| H | 01 | 05 | 11.2 | H ₂ S | 0.1 | H 77.5 | H 11.8 | Al ₂ O ₃ 64 S" |
| O | 15 | 68 | 88.8 | ungez. N.W. | 0.0 | O 255.0 | O 38.8 | Fe ₂ O ₃ 21.6 SO ₃ 27.6 |
| N | 01 | 05 | | | | N 00 | N 00 | MnO - CP 04 |
| S flüssig | 01 | 05 | | Or | 0.0 | S 7.5 | S 0.2 | CaO 389 CO ₂ 0.2 |
| S in Asche | 07 | 32 | | CO | 18.8 | | | MgO 27 SiO ₂ - |
| Asche Diff | 84 | 381 | | H ₂ | 59.3 | | | |
| Asche im Luftstrom | 106 | 484 | | CH ₄ | 13.4 | | | |
| | | | | über CH ₄ | 0.0 | | | |
| | | | | N ₂ | 0.0 | | | Wasserlös. 2.9 % |
| Ho | 7348 | - | | Ho | 3657 | | | Erreich. Punkt 910 °C |
| Hu | 7343 | - | | Hu | 3244 | | | Schmelzpunkt 1235 °C |
| | | | | D | 0551 | | | (M 1/8 431 SK 831 f.) |

To 467a

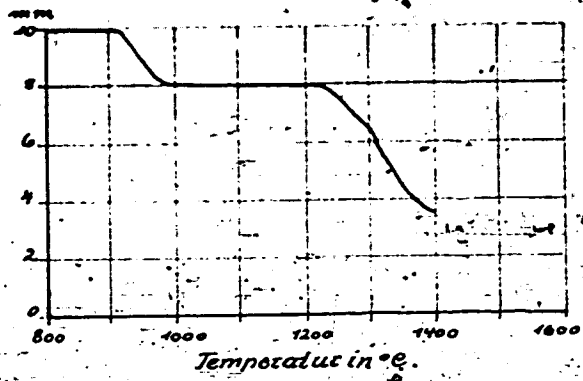
Anlage: 22.

20910

Schmiedefeld Anlage Ruhland.

Achenschmelzkurven.

a. von RobH. Grube Clara Firma Einzacht.



b. von RobH. Grube Clara Ruhland (Bocabag).

